

SiO₂, Koker!

SiO_2

Smyth

1987

(фаза высокого давления)

15 Б2070. Кристаллическая структура коэсита, фазы высокого давления SiO_2 при 15 и 298 К по данным монокристалльной нейтроно- и рентгенографии: проверка модели связей. Crystl structure of coesite, a high-pressure form of SiO_2 , at 15 and 298 K from single-crystal neutron and X-ray diffraction data: test of bonding models. Smyth J. R., Smith J. V., Artioli G., Kvick A. «J. Phys. Chem.», 1987, 91, № 4, 988—992 (англ.)

Определена крист. структура природного коэсита SiO_2 из эклогитовых пород кимберлита Roberts Victor, Южная Африка, методом нейтронографии при 15 К [λ 1,04997 Å, монохроматор Ge (220) 2168 отражений, R 0,048] и рентгенографии монокристалла при 298 К (λ Mo, 8234 отражения, R 0,013). Кристаллы монокл., ф. гр. $C2/c$, a 7,1357, b 12,3835, c 7,1859 Å, β 120,375° при 15 К и a 7,1464, b 12,3796, c 7,1829 Å, β 120,283° при 292 К определены методом нейтроно-

X. 1987, 19, N 15

графии. Выявлен существенно анизотропный характер термич. расширения, что объяснено относительно большим ($\sim 1\%$) изменением расстояний между несвязанными атомами O (3,26 при 15 K, 3,29 при 298 K) и углом OSi/O в тетраэдрич. каркасе. Обнаружена линейная зависимость между 8 независимыми расстояниями Si—O и 5 величинами $\sec \theta$ (Si/OSi): при 15 K d (Si—O) = $3,42 - 0,0165 \cdot \sec \theta$ (OSi/O) (корреляция — 0,516), при 292 K d (Si—O) = $1,529 - 0,0699 \cdot \sec \theta$ (SiOSi) (корреляция — 0,945). Сравнение этих зависимостей с теорет. кривыми, рассчитанными на основании модели молек. орбиталей для малых кластеров показало, что необходимо учитывать дополнит. факторы, например, силы отталкивания между соседними несвязанными атомами O.

Ю. И. Сигаловская

Ю. И.
Сигаловская

SiO₂

1987

10 Б2018. Полиморфное превращение кварца, подвергнутого механической обработке. Polymorphous transformation of quartz induced by mechanical treatment. Steinike U., Uecker D.-Chr., Sigrist K., Plötner W., Köhler Th. «Cryst. Res. and Technol.», 1987, 22, №10, 1255—1261 (англ.; рез. нем.)

При нагревании α -кварц проходит цикл полиморфных превращений по схеме: $\alpha\text{-кварц} \rightleftharpoons \beta\text{-кварц} \rightleftharpoons \beta\text{-тридимит} \rightleftharpoons \beta\text{-кристобалит}$. Мех. обработка (в мельнице, от 1 до 70 часов) приводит к образованию так называемых механически активированных образцов α -кварца, претерпевающих полиморфные переходы при гораздо более низких т-рах: при 573°C в β -кварц и при $\approx 1200^\circ\text{C}$ в β -кристобалит. Энергия активации фазовых

III

X-1988, 19, N 10

переходов при этом падает почти на 50%. Факт снижения т-ры фазовых превращений для механически активированных образцов объясняется повышенной конц-ней структурных дефектов, малыми размерами кристаллитов (и, соотв., большой удельной Пв) и разрывом части мостиковых связей Si—O—Si, что облегчает переход от одной структуры к другой.

С. В. Соболева

SiO₂

1987

№ 5 E742. Использование электронной микроскопии для изучения фазовых превращений. Phase transformations as studied by electron microscopy. Van Landuyt J., Van Tendeloo G., Amelinckx S. «Ultramicroscopy», 1987, 23, № 3—4, 371—382 (англ.)

Рассматриваются возможности эл.-микроскопич. методами, в том числе дифракции электронов, при изучении фазовых превращений и реакций в твердых телах и сплавах. В качестве примеров анализируются 1) реакция дегидратации гематита с переходом в гематит при

Ртр;

(+) $\alpha FePO_4$

φ. 1988, 18, № 5

нагревании и 2) фазовый переход низкотемпературного α -кварца в высокотемпературный β -кварц при $T = 573^\circ\text{C}$. На основании анализа полученных электронограмм предложен механизм реакции «гетит \rightarrow гематит» с формированием микротекстуры из параллельных сдвойниковых слоев гематита шириной ± 3 нм, разделенных пустотами. При α — β -переходе в кварце зафиксировано существование промежуточной фазы несоразмерного характера с образованием доменов из дофинейских двойников, вытянутых вдоль c -оси, имеющих треугольную форму в поперечнике (размер 10—30 нм). Такая же сложная микроструктура наблюдалась при фазовом превращении ($T = 580^\circ\text{C}$) в изоструктурном кварцу берлините AlPO_4 . Библ. 24. Т. Глушкова

SiO_2 (μ)

1987

(ρ , \bar{v})

107: 162321k Modeling of the structure and thermodynamic properties of liquid silica by the method of molecular dynamics
Voronova, L. I.; Lepinskikh, B. M.; Bukhtoyarov, O. I. (Inst. Metall., Sverdlovsk, USSR). *Izv. Vyssh. Uchebn. Zaved., Chern. Metall.* 1987, (5), 5-9 (Russ). The interat. pair potential and the liq. structure parameters (radial distribution function) of liq. SiO_2 were calcd. by the mol. dynamics method. The thermodn. properties (heat capacity, c_p , c_v ; isothermal and adiabatic compressibility; and thermal expansion coeff.) of liq. SiO_2 were calcd. by the microcanonical ensemble. The theor. results compare well with exptl. data.

C.A. 1987, 107, n18

SiO₂

1988

✓ 5 Е376. Концентрационные зависимости теплоемкости бинарных стекол на основе диоксида кремния при низких температурах. Алиев Н. Н., Абдуллаев А. Б., Шалумов Б. З., Дьяконов С. С. «Изв. АН СССР. Неорган. матер.», 1988, 24, № 1, 124—132

Методом адиабатич. калориметрии изучены концентрационные зависимости теплоемкости бинарных стекол систем $\text{SiO}_2\text{—B}_2\text{O}_3$, $\text{SiO}_2\text{—Al}_2\text{O}_3$, $\text{SiO}_2\text{—GeO}_2$ и $\text{SiO}_2\text{—TiO}_2$. Установлено различное влияние оксидов бора, алюминия, германия и титана на теплоемкость SiO_2 , что связывается с различным вхождением катионов (B, Al, Ge и Ti) в его структуру. На основе эксперим. данных вычислены изменение энтропии и энталпии изученных стекол для исследованных конц-ий в интервале т-р 5—300 К.

Резюме

оф. 1988, 18, № 5

SiO₂

1988

4 Б3017. Теплоемкость аморфных фаз диоксида кремния в интервале 5—340 К / Березовский Г. А., Давронов О. // 8 Всес. конф. по теплофиз. свойствам веществ, Новосибирск, 20—22 сент., 1988: Тез. докл. Ч. 2.— Новосибирск, 1988.— С. 16—17.— Рус.

C_p

В интервале т-р 5—340 К в вакуумном адиабатич. калориметре измерены теплоемкости C_p 5 образцов аморф. кремнезема, облученных быстрыми нейтронами с дозами от $2 \cdot 10^{19}$ до $2,2 \cdot 10^{20} \text{ см}^{-2}$. Отмечено снижение C_p облученных образцов по сравнению с C_p исходного кварцевого стекла (КС), причем максимум отклонения наблюдался вблизи 10 К. Это свидетельствует о нек-ром упорядочении стекла в результате облучения, т. к. при низких т-рах C_p необлученного КС выше, чем крист. кварца. При дозах от $1 \cdot 10^{20}$ до $2,2 \cdot 10^{20} \text{ см}^{-2}$ C_p слабо зависит от облучения. Это согласуется с предположением, что при таких дозах облучения стекло полностью представляет собой так называемую метамиктную фазу, в к-рой возможно проявляются локальные структуры

X. 1989, N 4

коэсита или китита. При дозах, меньших $1 \cdot 10^{20} \text{ см}^{-2}$, образец представляет собой смесь двух фаз — исходного КС и метамиктной формы. Измерения низкот-рной C_p метамиктного кремнезема, отожженного в течение 3 часов при 1000°C , показали его полное превращение в КС.

А. С. Гузей

1988

22 Б3034. Теплоемкость аморфных фаз диоксида кремния. Березовский Г. А., Давронов О., Ланда Л. М., «12 Всес. конф. по хим. термодинам. и калориметрии. Тез. стенд. докл., Горький, 13—15 сент., 1988. Ч. 1». Горький, 1988, 34

Изучено влияние облучения на термодинамич. св-ва кварцевого стекла (I). В вакуумном адиабатич. калориметре с периодич. вводом тепла измерена C_p I в интервале т-р 5—340 К. Построены графики зависимость $C_p(T)$ и рассчитаны ΔH и ΔS . На графиках $C_p(T)$ приведены отклонения C_p образцов I, облученных быстрыми нейтронами с дозами $2,0 \cdot 10^{19}$, $9,3 \cdot 10^{19}$ и $2,2 \cdot 10^{20} \text{ см}^{-2}$, от C_p исходного образца I. Показано, что C_p облученных образцов снижается с увеличением дозы, а ΔC_p имеет характерный минимум при 10 К. При дозе больше $2 \cdot 10^{20} \text{ см}^{-2}$ наступает насыщение, I полностью переходит в метамиктный кремнезем, C_p к-рого после отжига при 1000°C близка и C_p I с точностью 2—5% до 300 К.

По резюме

X. 1988, N 22

SiO₂

1988

2 В6. Синтез диоксида кремния из тетрахлорсилана и диоксидов азота и серы / Буцкий В. Д., Зоря Л. Н., Лазарев В. Б., Онайко В. А., Панасюк Г. П., Подзолко Л. Г. // Ж. неорганической химии.— 1988.— 33, № 10.— С. 2457—2461.— Рус.

Исследована возможность синтеза безгидроксильного кремнезема в системах $\text{SiCl}_4 + n_0\text{SO}_2$ (1), $\text{SiCl}_4 + n_0\text{NO}_2$ (2), $\text{SiCl}_4 + n_0\text{NO}_2 + n_0\text{SO}_2$ (3), где n_0 (относит. число молей) варьировалось от 0,5 до 4. Эксперимент основывался на данных термодинамич. моделирования указанных систем для $T = 300$ —900 К и норм. давл. В системах (1) и (2) не удалось достигнуть равновесных состояний. В системе (3) получен диоксид кремния, в к-ром, по данным ИК-спектроскопии, отсутствуют гидроксильные группы.

Резюме

Системы

ж. 1989, № 2

8:02

1988

Давронов, Одилжон.

Исследование физико-химических свойств метамиктного кремнезема : Автореф. дис. на соиск. учен. степ. канд. физ.-мат. наук : (02.00.04) / АН СССР, Сиб. отд-ние, Ин-т неорганич. химии. — Новосибирск, 1988. — 17 с. : граф.

Библиогр. : с. 17 (5 назв.).

Полиметаллизм

№ 11172

A9 № 418 [88-5689a]

НПО ВКП 13—17.06.88

SiO₂
(Кремнезем)

1988

4 Б3013. Влияние бозонного пика на низкотемпературную теплоемкость аморфного кремнезема / Давронов О., Дребущак В. А. // 8 Всес. конф. по теплофиз. свойствам веществ, Новосибирск, 20—22 сент., 1988: Тез. докл. Ч. 2.— Новосибирск, 1988.— С. 4—5.— Рис.

В спектрах КР на стеклах присутствует «бозонный пик», на долю к-рого приходится от 30 до 90% интегральной интенсивности спектра КР. С использованием ранее опубликованных данных авторов рассчитаны параметры бозонного пика (доля в интегральной интенсивности от всего фононного спектра и частота ω_{\max} максимума бозонного пика) для ряда стекол SiO₂, облученных различными дозами быстрых нейтронов. С увеличением дозы облучения значения ω_{\max} растут. До 40 К теплоемкость облученных образцов аморфного кремнезема описывается только бозонной составляющей. Сравнение расчетных значений теплоемкости с эксперим. для самых низких т-р свидетель-

ж. 1989, № 4

ствуют об отклонении фононной плотности бозонного пика $g(\omega)$ от квадратичной. А. С. Гузей

лек.
Тез

1988

7 E249. Термоемкость кремния в области милли-
kelvin. Specific heat of silicon in the millidegree ge-
gion / Keyes Robert W. // Phys. Rev. B.— 1988.— 38,
№ 14.— С. 9806—9809.— Англ.

Анализируется возможность использования Si в ка-
честве болометра для элементарных частиц при т-рах
ниже 100 мК, обусловленная его чрезвычайно низкой
решеточной теплоемкостью. Рассматриваются различ-
ные вклады в теплоемкость электрически активных при-
месей. Показано, что наибольший вклад могут давать
расщепления акцепторных состояний внутренними де-
формациями и расщепление примесных уровней магн.
полям. Использование материала *n*-типа позволяет из-
бежать первого вклада. Делается вывод о перспектив-
ности болометрич. метода для регистрации частиц с
энергией ~100 МэВ.

В. Оскотский

ф. 1989, № 3

SiO_2 (cmek)

On 30526

1988

110: 46017d Heat capacity of neutron-irradiated silica glass.
Davronov, O.; Berezovskii, G. A. (Inst. Inorg. Chem., Novosibirsk,
USSR). *J. Therm. Anal.* 1987 (Pub. 1988). 33(3), 749-53 (Eng).
The heat capacities of unirradiated silica glass and three samples of
fast neutron-irradiated silica glass were measured between 6 and 340
K. For the glass samples irradiated with fast neutrons, a decrease in
heat capacity was obsd. in comparison with the starting silica glass.
This agrees with the assumption that at higher doses the silica glass
is converted into the metamict phase, which has a different local
structure.

(C_p)

c.A.1989, 110, n6

SiO₂

0030526

1988

5 Б3024. Термоемкость кварцевого стекла после облучения нейтронами. Heat capacity of neutron-irradiated silica glass / Davronov O., Berezovsky G. A. // J. Therm. Anal.— 1988.— 33, № 3.— С. 749—753.— Англ.

Термоемкость C_p кварцевого стекла, облученного быстрыми нейтронами с конц-ней $2,0 \cdot 10^{19}$, $9,3 \cdot 10^{19}$ и $2,2 \cdot 10^{20} \text{ см}^{-2}$ измерена в адиабатич. калориметре при т-рах 5—340 К. Точность измерений C_p составляла 0,2% при 50—278 К и 1,0% ниже 30 К. Облучение приводит к уменьшению C_p по сравнению с необлученным стеклом. При дозах свыше $2 \cdot 10^{20} \text{ см}^{-2}$ разности ΔC_p и ΔS облученного и необлученного образцов почти не зависят от дозы. Это указывает на образование метамиктной фазы с упорядоченным расположением фрагментов. Значения C_p (298 К, Дж/К·моль), $S_{298} - S_0$ (Дж/К·моль) и $H_{298} - H_0$ (Дж/моль) составляют для необлученного стекла $44,22 \pm 0,05$, $43,51 \pm 0,10$ и 7000 ± 10 и для стекла, облученного дозой $2,2 \cdot 10^{20} \text{ см}^{-2}$ $42,84 \pm 0,10$, $40,70 \pm 0,40$ и 6700 ± 20 .

Л. А. Резницкий

(*P*)
5-340К

Х. 1989, № 5

SiO_2

Dorogokupets

1988

^ 110: 83070m Thermodynamics of polymorphic forms of silica.
Dorogokupets, P. I.; Karpov, I. K.; Lashkevich, V. V. (IZK, Irkutsk,
USSR). *Izv. Akad. Nauk SSSR, Ser. Geol.* 1988, (11), 87-97
(Russ). Thermodn. data and the equations of state for the 5 forms of
 SiO_2 were used to calc. the phase diagram of SiO_2 with an error not
greater than a possible exptl. error. Thermodn. characteristics of the
transformation coesite = α -quartz in the 1300-1400° and 30-35 kbar
region were detd.

Payffail

Guarsanima,

Str H, Str S;

$$\text{218 Kozury}: \delta_{298} = 39,16 \pm 0,5 \text{ d.p.} =$$

$$= 9,36 \pm 0,12 \text{ d.p.}$$

$$\Delta H_{298} = -907,72 \pm 1,1 \text{ d.p.} =$$

$$= 216,95$$

C.A. 1989, 110, N10

Hilz

1988

9 Б3094. Несоразмерные фазовые переходы в кварце и берлините. Incommensurate phase transitions in quartz and berlinites / Dolino G. // Struct. and Magn. Phase Transit. Miner.— New York etc., 1988.— С. 17—38.— Англ.

Обзор теор. и эксперим. исследования х-к α - β -перехода в кварце, включая переход в несоразмерную фазу (НСФ), открытый спустя 100 лет после интенсивного изучения α - β -перехода. В теории Ландау фазовых превращений 2-го рода переход в НСФ проявляется как небольшое возмущение в св-вах α - β -перехода (1-го рода). Рассмотрены результаты изучения механизма и динамич. св-в этих переходов методами РФА, инейтронографии и спектроскопии КР. Сделан обзор исследований фундаментальных св-в НСФ, выполненных методом электронной микроскопии, а также работ по изучению физ. св-в НСФ, существующей в интервале т-р 1,4 К между α и β -фазами. Рассмотрены также результаты исследования НСФ в $AlPO_4$. Библ. 70.

В. А. Ступников

Tet

X. 1990, № 9

SiO₂

(*P_{Tz}*)

φ. 1989, N5

0711.42034 . 1988

5 E736. Фазовые превращения в стеклообразном и аморфном SiO_2 . Phase transitions in vitreous and amorphous SiO_2 / Gerber Th., Himmel B., Lorenz H., Stachel D. // Cryst. Res. and Technol.— 1988.— 23, № 10—11.— С. 1293—1302.— Англ.; рез. нем.

Рентгенографическим методом с использованием $\text{Ag}-K_{\alpha}$ -излучения изучены структурные изменения, происходящие в аморфном SiO_2 под влиянием т-ры и давления (P): Изменение кривых интенсивности и ф-ций атомного распределения после отжига $a\text{-SiO}_2$ при 700°C и $P=7$ ГПа интерпретируется как переход от структуры типа кристабалита к структуре типа кварца, сопровождающийся увеличением плотности $a\text{-SiO}_2$ на 15%. Кристаллизация $a\text{-SiO}_2$ начинается при 800°C и заканчивается при 900°C и $P=7$ ГПа. Структура мелкодисперсного SiO_2 отличается от структуры $a\text{-SiO}_2$ характером упаковки атомных полиэдров. Измерение интенсивности рентгеновских лучей, рассеянных дисперсным SiO_2 при разных т-рах, позволило установить, что при повышении т-ры происходит сдвиговое структурное превращение, аналогичное $\alpha-\beta$ -переходу в кристабалите. Библ. 43.

Е. З. С.

SiO_2

Chm. 42034

1988

(cristal· аморфн)

110: 160741k Phase transitions in vitreous and amorphous silica. Gerber, T.; Himmel, B.; Lorenz, H.; Stachel, D. (Sekt. Phys., Wilhelm-Pieck-Univ., DDR-2500 Rostock, Ger. Dem. Rep.). *Cryst. Res. Technol.* 1988, 23(10-11), 1293-302 (Eng). Glassy (v) and amorphous (a) SiO_2 were studied by x-ray diffraction with resoln. 0.016 nm at 7 GPa and 600-1000°. The densification produced structural phase transitions: at 700°, a 15% irreversible densification was seen of $v\text{-SiO}_2$ changing its cristobalite topol. to that of quartz; $a\text{-SiO}_2$ showed medium-range order and a displacive phase transition analogous to $\alpha\text{-}\beta$ transition in cristobalite.

Файлы

C.A. 1989, 110, N 18

SiO₂ (кварц)

1988

22 Б2055. Попытка уточнения структуры кварца. An attempt of structure refinement of quartz. Кихата К. «14th Int. Congr. Crystallogr., Perth, 12—20 Aug., 1987. Collect. Abstr.» Nellands, 1988, 153 (англ.)

Проведенное рентгенографич. уточнение ($R \approx 0,05$) структур кварца при т-рах выше (на 4 и 14 К) и ниже (на 10 и 60 К) т-ры фазового перехода $\alpha \rightarrow \beta$ и при комб. т-ре не выявило никаких промежуточных фаз с несодазмерными решетками. С. В. Соболева

Структура.

X. 1988, N 22.

SiO₂ (аморф.) от. 28573 1988

13 Б3022. Выбор величины стандартной энталпии образования гидратированного аморфного диоксида кремния. Ключников В. А., Воронков М. Г., Пепекин В. И., Попов В. Т., Балыкова И. А., Кузьмина Е. С. «Докл. АН СССР», 1988, 298, № 2, 398—400

Калориметрически определена энталпия образования высокодисперсного гидратированного аморф. SiO₂ (I). Показано, что $\Delta_f H^0_{298,15}$ (I) зависит от его Пв, наличия силанольных групп и воды, связанной Н-связями и физически адсорбированной.

А. Л. М.

X. 1988, 19, n13

SiO₂ (amorphous) OM. 28573 1988

108: 138835f Selection of standard heat of formation of hydrated amorphous silicon dioxide. Klyuchnikov, V. A.; Voronkov, M. G.; Pepekin, V. I.; Popov, V. T.; Balykova, I. A.; Kuz'mina, E. S. (Kamerov. Gos. Med. Inst., Kamerovo, USSR). *Dokl. Akad. Nauk SSSR* 1988, 298(2), 398-400 [Phys. Chem.] (Russ). The heats of formation of hydrated amorphous SiO₂ and the effects influencing these values were detd. To det. the heat of combustion of ultradispersed C as well as of elementary Si a special calorimeter, described by U.A. Klyuchnikov (1979), was used. Hydration of SiO₂ was studied by reaction calorimetry and bomb calorimetry was used to det. the heat of formation of SiO₂ and H₂SiF₆.

(Δ_fH)

④ ⑧

c. A. 1988, 108, N 16

SiO_2 (kboris)

1988

Kostyukov K.; Shcheglyas
M., Klee H.

T_{tr} , J. Therm. Anal. 1987;
 $A_{tr} H$; (Pub. 1988). 33(1), 351-7.

(est. KNO_3 ; I)

SiO₂

от 30676 1988

7 Б3043. Термодинамическая стабильность метамиктного кремнезема в стандартных условиях / Ланда Л. М. // Докл. АН СССР.— 1988.— 303, № 1.— С. 136—139.— Рус.

Предположение о станд. состоянии кремнезема SiO₂ в виде полиморфной метамиктной модификации (КМ) аргументировано результатами термохим. исследований пр-рения SiO₂ в HF-к-те. КМ возникает при облучении др. модификаций SiO₂ быстрыми нейтронами. В структуре КМ преобладают четырехчленные кольца тетраэдров SiO₄. Барич. воздействие на SiO₂-стекло также приводит к возникновению КМ, что сопровождается снижением энталпии системы. Замораживание фазы высокого давления сопровождается сохранением внутри в-ва повышенного давления. Такое состояние существует из-за дефектов, к-рые препятствуют релаксации системы. Предполагается, что внутри КМ существует локальная структура китита или коэсита. Разность ΔG КМ и α-SiO₂ (кварц) составляет 3±1,7 кДж/моль.

Л. А. Резницкий

ж. 1989, № 7

SiO_2

[Om. 30676]

1988

110: 122603j Thermodynamic stability of amorphous metamictic silica under standard conditions. Landa, L. M. (Kuzbas. Politekh. Inst., Kemerovo, USSR). *Dokl. Akad. Nauk SSSR* 1988, 303(1), 136-8 [Phys. Chem.] (Russ). The heats of dissoln, ΔH_s , were detd. for amorphous metamictic SiO_2 and quartz glass in HF aq. solns. Both forms have the same ΔH_s , -18.2 ± 1.4 kJ/mol, entropies 7.5-8.6 J/mol-K, and free energies of 5.8 kJ/mol. The results are discussed in terms of the glass structure and possible reinterpretations of the thermodyn. relationships.

($\delta H_{\text{dissoln}}$)

C.A. 1989, 110, n14

SiO₂

1988

5 Б2001. Первые принципы определения кристаллов.
Crystals from first principles / Maddox J. // Nature.—
1988.— 335, № 6187.— С. 201.— Англ.

Описана попытка ряда японских ученых определить с использованием ЭВМ на основе параметров решеток и данных по силовым константам тетраэдрич. связей х-ки 4 структур полиморфных модификаций кремнезема: α -кварца, α -кристобалита, коэсита и стишовита и оценить их устойчивость при определенных термодинамич. параметрах. Эта первая попытка открывает возможности предсказания структур объектов с известным составом, но имеющихся в очень ограниченном кол-ве или объектов с составами, меняющимися в объеме кристалла в линейных пределах, меньших чувствительности рентгеновского метода (например полупроводников с примесными добавками).

С. В. Соболева

X. 1989, N 5

SiO₂

1988

10 E656. О соотношении между показателем преломления и плотностью для полиморфов SiO₂. On the relationship between refractive index and density for SiO₂-polymorphs / Marler B. // Phys. and Chem. Miner.—1988.—16, № 3.—С. 286—290.—Англ.

Анализируются 5 различных аналитич. выражений, связывающих показатель преломления n и плотность ρ , для полиморфов SiO₂. Рассмотрены 13 полиморфов SiO₂ с диапазоном ρ от 1,76 до 2,92 г/см³. Наиболее адекватной является ф-ла $(\bar{n}^2 - 1) \{ [4\pi + b(\bar{n}^2 - 1)]\rho \}^{-1} = \alpha/M$, где \bar{n} — усредненное значение n , M — молекулярный вес, α — поляризуемость, принимаемая постоянной для всех полиморфов SiO₂, $b = 1,21$ — параметр электронного перекрытия. Библ. 26.

А. И. Коломийцев

*плотность
полиморфов*

φ. 1989, № 10

SilO₂

1988

14 Б2278. Ширина запрещенной зоны и плотность полиморфных модификаций SiO_2 . Energy gap and density in SiO_2 polymorphs. Май S. «Phys. and Chem. Miner.», 1988, 15, № 3, 271—273 (англ.)

Для различных полиморфных модификаций SiO_2 предложено полуэмпирич. соотношение между шириной запрещенной зоны E_G и плотностью ρ : $E_G = \sqrt{39,24 - 13,8327} \text{ г}$. Вычисл. для низкот-рного кварца при $\rho = 2,65 \text{ г}/\text{см}^3$ величина E_G составляет 10,1 эВ (эксперим. значение 10,2); для стишовита при $\rho = 4,28 \text{ г}/\text{см}^3$ E_G равно 8,9 эВ. Крит. значение плотности при $E_G = 0$ согласно выведенной ф-ле равно $\sim 10,1 \text{ г}/\text{см}^3$, что хорошо согласуется со значением ρ для фазы высокого давл. SiO_2 со структурой флюорита CaF_2 .

С. В. Соболева

X. 1988, 19, N 14

SiO_2

1988

10 Б3057. Исследования полиморфизма SiO_2 при высоких давлениях методом молекуларной динамики. Возможная новая кубическая полиморфная модификация с высокой плотностью. Molecular dynamics studies of polymorphism of SiO_2 at high pressures: A possible new cubic polymorph with high density / Matsui Y., Matsui M. // Struct. and Magn. Phase Transit. Miner.—New York etc., 1988.— С. 129—140.— Англ.

полиморф
формы

С помощью методов компьютерного моделирования в рамках молек. динамики исследованы параметры гипотетич. перехода кристаллов SiO_2 из фазы флюорита в новую кубич. высокоплотную модификацию с пр. гр. Рa3. Переход протекает в течение 1 пикосек. и должен быть 1-го рода. Как показали вычисления, эта фаза стабильна в обл. давл. 0—250 ГПа. В новой фазе ($a = 4,441 \text{ \AA}$, теор. плотность $4,56 \text{ г/см}^3$) при нулевом

X.1990, N/10

давл. расстояние Si—O составляет 1,813 Å, а среди 12 ребер O—O имеется 6 с расстоянием 2,345, и 6 с 2,766 Å. Наиболее близким аналогом к новой фазе SiO_2 является рутил FeS_2 . Сделано сравнение всех исследованных св-в фазы $P\bar{a}\bar{3}$ с фазой типа $\alpha\text{-PbO}_2$, обычно появляющейся при попытках получения новой высокоплотной модификации SiO_2 . В. А. Ступников

SiO₂

1988

8 Б2011. Моноклинная кристаллическая структура минерала моганита SiO_2 . Die monokline Kristallstruktur des SiO_2 -minerals moganit / Miehe G., Graetsch H., Flörke O. W., Fueß H. // Z. Kristallogr.— 1988.— 182, № 1—4.— С. 183—184.— Нем.

Рентгенографически определена структура природного полиморфа SiO_2 — маганита. Установлено незначит. монокл. искажение решетки ($a = 8,770$, $b = 4,879$, $c = 10,720\text{\AA}$, $\beta = 90,08^\circ$) с изменением идеализированной ф. гр. $I\bar{m}ab$ на $I2/m$. Структура магамита возникает в результате структурного двойникования SiO_2 -кварца и представляет собой 3-мерный каркас из соединенных вершинами в 4-, 6- и 8-членные кольца тетраэдров SiO_4 ($\text{Si}-\text{O} = 1,614$, $\text{SiOSi} = 137^\circ$, 146° , 147°). С. В. Соболева

*Кристал-
структур*

X. 1989, N 8

SiO_2

1988

Pak V.M., Serov G.V.,
et al.

pag. Rasplavy 1988, 2 (5),

geom. 21-8.

(cav. FeO ; I)

Sil₂

1988

4 Б3125. Кристаллообразование при термопаровой обработке кремнезема / Панасюк Г. П., Усов Л. В., Будова Г. П., Черенков Е. И., Лазарев В. Б. // Изв. АН СССР. Неорганическая матер.— 1988.— 24, № 8.— С. 1318—1322.— Рус.

Методами РФА, микроскопич. и электронно-микроскопич. исследований изучены структурные превращения кремнезема под влиянием различных модификаторов. В процессе высокот-рного отжига кварцевого песка (КП) и кварцевого стекла (КС) после их вымачивания в р-ре NaOH (1—5 масс.%) наблюдалось появление сначала кристаболитной (КФ), а затем тридимитной фазы (ТФ) в случае КП и полное превращение КС в КФ или ТФ в зависимости от времени отжига. Последующая термопаровая обработка тех и др. образцов сопровождалась переходом КФ или ТФ в поликристаллич. кварц. В случае КП наблюдалось ориентированное зародышеобразование кварца, при к-р-м ориентированные зародышевые микрокристаллы кв.

Х. 1989, № 4

ца (МК) заполняли весь объем зерна. Для образцов КС переход $T\Phi \rightarrow$ кварц сопровождался образованием внутри зерна $T\Phi$ блоков из ориентированных МК, однако сами блоки внутри зерна были сильно разориентированы. При дальнейшей автоклавной обработке образцов из КП наблюдалось постепенное срашивание отдельных МК с образованием крупных монокристаллов, реже — двойников. Аналогичную картину наблюдали при кристаллизации в автоклаве аморф. кремнезема, содержащего 3 масс.% KOH и 1,5 масс.% Nd_2O_3 . Сделан вывод, что характер кристаллизации конечной фазы кварца связан со степенью упорядочения надмолек. структуры промежут. фаз ($K\Phi$ и $T\Phi$), формирующейся в процессе высокотрного отжига в присутствии модификаторов.

Н. М. Аристова

БВОК
ЧАВ

Sil₂

1988

12 Е806. Кристаллообразование при термопаровой обработке кремнезема. Панасюк Г. П., Усов Л. В., Будова Г. П., Черенков Е. И., Лазарев В. Б. // Изв. АН СССР. Неорганическая химия. 1988.— 24, № 8.— 1318—1322.— Рус.

Характер кристаллизации конечной фазы кварца из промежуточных кристобалита и тридимита непосредственно связан со степенью упорядоченности надмолекулярной структуры этих фаз, формирующейся в процессе высокотемпературного обжига в присутствии модификаторов.

Резюме

cf. 1988, N 12

SiO₂

1988

110: 145318j Theoretical evidence for a new ultra-high-pressure phase of silicon dioxide. Park, Key Taeck; Terakura, Kiyoyuki; Matsui, Yoshito (Inst. Solid State Phys., Univ. Tokyo, Tokyo, Japan 106). *Nature (London)* 1988, 336(6200), 670-2 (Eng). A hypothetical polymorph of silica with a modified fluorite ($P\bar{a}3$) structure is proposed using first-principles electronic structure calculations, as a possible high-pressure phase. $\text{SiO}_2\text{-P}\bar{a}3$ would have a d. of 4.46 (~6% denser than SiO_2 -rutile at normal pressures) and should become more stable than SiO_2 -rutile at pressures of $\gtrsim 60$ GPa. These results also suggest that MgSiO_3 -perovskite, which is widely accepted as the major constituent within the earth's deep interior, may be unstable at very high pressure.

(Robert Gray)

C.A. 1989, 110, n16

SiO₂

1988

21 Б3173. Неравновесные фазовые переходы в SiO_2 .
Романова Г. Ф., Ефремов А. А., Диденко П. И.
«Электрон. процессы на поверхности и в тонк. слоях по-
лупровод. 9 Всес. симп., Новосибирск, 15—17 июня,
1988. Ч. 2». Новосибирск, 1988, 151—152

фаз. переход

Предложена модель процесса структурных перестроек, происходящих в тонких Пл SiO_2 под влиянием внешних воздействий и внутренних процессов. Сделан учет дополнит. изменения в пространстве конфигураций при неск. видах воздействия на систему. В рамках развитого формализма проведен анализ ряда эксперим. результатов, полученных методом МС вторичных ионов. Исследован эффект больших доз и ряд примесно-стимулированных структурных перестроек. В. А. Ступников

X. 1988, № 21

SiO_2

(DM. 28563)

1988

Шифр B.K.,

расен

подкристаллической
ионной
ионоферы 1988, 14, N 1, 137-140.

Расен методом
подкристаллической
ионной



Метод - Капро
ионоферных дис
модели SiO_2

Silx

1988

16 Б3022. Калориметрическое изучение полиморфных модификаций кремнезема при высоких температурах. Жидикова А. П., Семенов Ю. В., Бабич Ю. В. «Высокотемператур. химия силикатов и оксидов. Тез. докл. 6 Всес. совещ., Ленинград, 19—21 апр., 1988». Л., 1988, 122—123

В микрокалориметре Кальве при 973 К измерены теплоты превращения кварца и коэсита в расплаве $2\text{PbO} \cdot \text{B}_2\text{O}_3$, составившие $-4,22 \pm 0,20$ и $-5,84 \pm 1,20$ кДж/моль. Для перехода кварц—коэсит получено $\Delta_{trs}H(973\text{ K}) = 1,62 \pm 1,22$ кДж/моль. А. С. Гузей

(ДМтз)

Х. 1988, 19, N 16

Sil₂

1988

2 В4. Синтез безводного диоксида кремния из тетрахлорсилана / Зоря Л. Н., Лазарев В. Б., Онайко В. А., Панасюк Г. П., Бабиевская И. З. // Ж. неорг. химии.— 1988.— 33, № 10.— С. 2462—2466.— Рус.

Исследована возможность синтеза безгидроксильного кремнезема в системах $\text{SiCl}_4 + n_a \text{H}_2\text{SO}_4$ (1), $\text{SiCl}_4 + n_a \text{HNO}_3$ (2), $\text{SiCl}_4 + n_a \text{N}_2\text{O}_5$ (3), в которых n_a (относит. число молей) варьировалось от 0,5 до 2. Эксперимент основывался на данных термодинамич. моделирования равновесных систем для $T = 300—900$ К и норм. давл. Для систем (1) и (2) не найдены эксперим. условия синтезов. В системе (3) получен диоксид кремния, не содержащий ощутимых кол-в примесей, что согласуется с результатами расчетов.

Резюме

Сборка

X. 1989, № 2

SiO₂

1989

) 24 В21. Низкотемпературный способ получения безводного диоксида кремния / Буцкий В. Д., Зоря Л. Н., Лазарев В. Б., Панасюк Г. П., Подзолко Л. Г., Фалькенгоф А. Т. // Ж. неорган. химии.— 1989.— 34, № 9.— С. 2194—2198.— Рус.

Исследовано взаимодействие тетрахлорсилана с диоксидом азота и разработан новый низкотемп. (313—333 К) способ получения безводн. диоксида кремния. Рассмотрены факторы, влияющие на чистоту и выход конечного продукта. Синтезированный диоксид кремния охарактеризован при помощи хим. и масс-спектрально-го анализов, ИК-спектроскопии. Схемы р-ций расшифрованы на основе данных газохроматографич. анализа.

Резюме

X. 1989, № 24

SiO_2

1989

21 Б3236. Обзор данных по растворимости и полимеризации двуокиси кремния. A review on solubility and polymerization of silica / Chan S. H. // Geothermics.— 1989.— 18, № 1—2.— С. 49—56.— Англ.

Обзор. Систематизированы данные по р-римости и полимеризации аморфной SiO_2 (I) в водн. р-рах (влияние т-ры, давл., pH, электролитов различной природы на р-римость I; влияние pH, пересыщения р-ров, т-ры, солей различной природы на полимеризацию I). Кинетика полимеризации I. Механизмы полимеризации I. Библ. 45.

А. С. Соловкин

растворимость и полимеризация

Х. 1989, № 21

Кварцевые
аэрогели

1989

SiO_2

Ср

11 E280. Низкотемпературные энергетические возбуждения и тепловые свойства кварцевых аэрогелей. Low-temperature energy excitations and thermal properties of silica aerogels / De Goer A. M., Calemczuk R., Salce B., Bon J., Bonjour E., Maynard R. // Phys. Rev. B.— 1989.— 40, № 12.— С. 8327—8335.— Англ.

В интервале т-р от 0,1 до 10 К измерены теплоемкость C_p , теплопроводность K , внутреннее трение Q и относит. изменение скорости звука $\Delta V/V$ на кварцевых аэрогелях низкой плотности (от 0,87 до 0,12 г/см³). Величина K измерялась адиабатич. методом в ³Не-криостате при т-рах от 300 мК до 10 К. Q и $\Delta V/V$ измерены на резонансной частоте образца от 60 мК до 10 К в криостате с растворением ³Не в ⁴Не. K измерена классическим стационарным методом в интервале от 0,1 до 10 К с использованием растворения ³Не в ⁴Не ниже 1 К. Библ. 29.

В. Оскотский

cf. 1990, n11

SiO_2 -aerogel

1989

III: 241 1989j Low-temperature energy excitations and thermal properties of silica aerogels. De Geer, A. M.; Calemczuk, R.; Salee, B.; Bon, J.; Bonjour, E.; Maynard, R. (Dep. Rech. FondaM., CEN Grenoble, 38041 Grenoble, Fr.). *Phys. Rev. B: Condens. Matter* 1989, 40(12), 8327-35 (Eng). Measurements were made of sp. heats, thermal conductivities, internal friction, and relative change in sound velocity in the temp. range 0.1-10 K on several base-catalyzed and neutral-reacted low-d. silica aerogels. The results show important differences in the behavior of classical disordered dense solids ($\alpha\text{-SiO}_2$). They are analyzed within the framework of an elastic model of rods assembled in a disordered hierarchical network.

(ρ , 0.1-10K)

c.A.1989, III, N26

1989

13 E415. Оценка свободной энергии переохлажденных расплавов оксидов. Estimation of the free energy of undercooled oxide melts / Dubey K. S., Ramachandra-gao P., Lele S. // Phys. and Chem. Glasses.— 1989.— 30, № 4.— С. 163—165.— Англ.

В связи с разработкой теории зародышеобразования при кристаллизации и теории стеклования предложен метод оценки термодинамич. стимула зарождения в переохлажденной жидкости, который основан на разложении разности свободных энергий жидкой и твердой фаз ΔG при т-ре пл. в ряд Тейлора по степеням переохлаждения. Соответствующие коэф. разложения выражаются через скачки энтропии и теплоемкости. Полученное выражение хорошо описывает зависимость ΔG от переохлаждения для некоторых чистых (SiO_2 , GeO_2 , B_2O_3) и смешанных оксидов даже при значительных переохлаждениях в окрестности т-ры стеклования.

А. Б.

№ 2

ф. 1990, № 3

SiO₂-кеатит

1989

1 E779. Образование кеатита из гелей Li₂O—SiO₂ в присутствии оксида хрома. Formation of keatite from Li₂O—SiO₂ gels in the presence of chromium oxide / Ferreira da Silva M. G., Fernández Navarro J. M. // J. Non-Cryst. Solid.— 1989.— 109, № 2—3.— С. 191—197.
— Англ.

Гели SiO₂ и Li₂O—SiO₂, содержащие 0,05—1 мол.% Cr₂O₃, получены из водных растворов тетраэтилортосиликата, LiNO₃ и Cr(NO₃)₃. Затем они были термообработаны между 500 и 1000° С. Во всех образцах, содержащих одновременно ионы Li⁺ и Cr³⁺, при т-рах от 500 до 850° С образуется фаза высокого давления SiO₂ — кеатит. При введении только Li⁺ или Cr³⁺ эта фаза не образуется. Увеличение содержания LiO₂ от 2,6 до 5 мол.% способствует образованию кеатита. Подобный эффект примесь Cr₂O₃ оказывает в интервале конц-ий 0,05—0,5 мол.%. При т-рах выше 650° С наряду с кеатитом образуется α -кварц, и обе формы SiO₂ существуют до 850° С, когда они переходят в кристобалит и тридимит. Нагрев образцов в восстановительной атмосфере (10% H₂—90% N₂) сильно подавляет кристаллизацию кеатита.

А. И. Коломийцев

cf. 1990, n1

31056, 31964 1989

Sil₂
9 E649. Теплоемкость α -кварца от 298,15 до 847,3 К и β -кварца от 847,3 до 1000 К. Поведение свойств при переходе и переоценки термодинамических свойств. Heat capacity of α quartz from 298,15 to 847,3 K, and of β quartz from 847,3 to 1000 K — transition behaviour and revaluation of the thermodynamic properties / Grønvold Fredrik, Stølen Svein, Svendsen Sven R. // Thermo-chim. acta.— 1989.— 139.— С. 225—243.— Англ.

Методом адиабатич. калориметрии измерялась теплоемкость C_p минеральных образцов кварца в диапазоне т-р 298,15—1000 К. Фазовый переход λ -типа между α - и β -структурами растянут на интервал 0,02 К выше точки 847,30 К максимума C_p , равного 1700 Дж/моль·К. Энталпия α — β -перехода составляет 518 ± 5 Дж/моль. Молярная теплоемкость $C_{p,m}$, изменение энталпии ΔH_m и энтропии ΔS_m во всем диапазоне 298,15—1000 К равны 69,14 Дж/моль·К, 45 633 Дж/моль и 75,00 Дж/моль·К соответственно. Полученные результаты сопоставлены с литературными данными. Проведена переоценка термодинамич. свойств кварца в диапазоне т-р 298,15—1700 К. Библ. 83.

А. И. К.

φ. 1989, № 9

от 31.06.4, 31.05.6 1989

α - SiO_2

▷ 14 Б3028. Термоемкость α -кварца от 298,15 до 847,3 К и β -кварца от 847,3 до 1000 К. Фазовый переход и пересмотр термодинамических свойств. Heat capacity of α quartz from 298,15 to 847,3 K, and of β quartz from 847,3 to 1000 K — transition behaviour and revaluation of the thermodynamic properties / Grønvold Fredrik, Stolen Svein, Svendsen Sven R. // Thermochim. acta.— 1989.— 139.— С. 225—243.— Англ.

Термоемкость двух природных образцов кварца определена методом адиабатич. калориметрии в интервале 298—1000 К. Полиморфное превращение $\alpha \rightarrow \beta$ характеризуется резким пиком C_p с $C_{\max} = 1700$ Дж/моль К при 847,3 К, ширина т-рного интервала 0,02 К. Интегрированием аномальной части C_p в интервале 820—865 К вычислена $\Delta_{trs}H = 518 \pm 5$ Дж/моль. Рекомендованы значения C_p , $H_{1000} - H_{298}$ и $S_{1000} - S_{298}$, равные 69,14 Дж/К моль, 45 633 Дж/моль и 75,00 Дж/К.моль. Критически проанализирован весь массив опубликованных термодинамич. данных по кварцу за 1911—1987 гг. Библ. 83.

Л. А. Резницкий

C_p, dH_2

Х. 1989, N/Ч

SiO_2 (klapies)

Om. 31964,
31056

1989

110: 180408k Heat capacity of α quartz from 298.15 to 847.3 K, and of β quartz from 847.3 to 1000 K. Transition behavior and reevaluation of the thermodynamic properties. Groenvold, Fredrik; Stoelen, Svein; Svendsen, Sven R. (Dep. Chem., Univ. Oslo, 0315 Oslo, Norway). *Thermochim. Acta* 1989, 139, 225-43 (Eng.). The heat capacities of two quartz mineral samples were measured by adiabatic shield calorimetry in the range 298.15-1000 K. The α - β transition occurs continuously in a λ -like fashion with max. heat capacity of about 1700 J/K mol over a 0.02 K interval near 847.30 K. The transitional enthalpy is 518 ± 5 J/mol over the range 820-865 K. The values of molar heat capacity, enthalpy and entropy are given. The results are compared with literature values and a reevaluation of the thermodn. properties of quartz in the range 298.15-1700 K is presented.

C_p , S_{tr} H,
Mpmg. cf-fa

C.A. 1989, 110, N 20

Silo

1989

111: 182094z Experiments with a new symmetrical thermo microbalance to 1500°C. Kaisersberger, E.; Janoschek, J. (NETZSCH-Geraetebau G.m.b.H., D-8672 Selb, Fed. Rep. Ger.). *Thermochim. Acta* 1988 (Pub. 1989), 148, 507-11 (Eng). Buoyancy effects are the main drawback to the precise evaluation of thermogravimetric expts. A recently introduced thermo microbalance, designed sym. with respect to the arrangement of the balance, furnaces and gas flow system, eliminates buoyancy effects at the TG signal. Very small mass changes (resoln. 0.1 μ g), can be detd. over a wide range of temps., using sample wts. in the range from micrograms up to 1 g. The long term stability is very high with typical TG drift of 0.1 μ g/h during isothermal work at high temps. and below 3 μ g on heating to the max. temp.

61

C.A.1989, 111, N20

SiO₂
(диатомит)

1989

5 Б3135. Термохимическое модифицирование фильтрующих порошков на основе диатомита / Мчедлишвили Г. С., Хучуа Е. А., Мдивнишвили О. М., Уридия Л. Я., Гиоргадзе И. Г. // Изв. АН ГССР. Сер. хим.— 1989.— 15, № 3.— С. 211—214.— Рус.; рез. груз., англ.

Исследованы фазовые превращения в диатомите с добавками модификаторов различного состава в т-рном интервале 700—1000° С методом РФА. В кач-ве модификаторов использовались NaCl, NaF, Na₂SiF₆ и Na₂CO₃. Модификаторы играют роль минерализаторов и способствуют переходу аморфн. кремнезема в фазу α-кристобалита. Этот процесс особенно усиливается при содержании NaCl выше 5%. Начало и скорость кристаллизации зависят от типа добавки. В нек-рых случаях образуется также тридимит. Фазовые изменения в диатомите обсуждены в связи с его фильтрующей способностью.

Г. Л. Апарников

X. 1990, N5

SiO₂

1989

9 E650. Переход от непрерывного к скачкообразному поведению в несоразмерной фазе кварца, обусловленный кинетическими эффектами. Kinetic crossover from continuous to discontinuous behavior in the incommensurate phase of quartz / Mogeon F., Dolino G., Vallade M. // Phys. Rev. Lett.— 1989.— 62, № 2.— С. 179—182.— Англ.

При уменьшении скорости изменения т-ры обнаружен переход от непрерывного к прерывистому — скачкообразному изменению физич. свойств несоразмерной фазы кварца (существующей между α - и β -фазами в интервале 1,5 К около 846 К). Эффект изучен путем прецизионных измерений двупреломления Δn при циклич. изменениях т-ры в интервале 0,7 К со скоростью от 90 мК/ч до 2 мК/ч и заключается в появлении на гистерезисной петле $\Delta n(T)$ регулярных ступенек, период и величина которых увеличиваются с уменьшением скорости. Эффект сильно зависит от конц-ии дефектов в образце. Скачкообразный характер темпера-

PF2

cf. 1989, N 9

турной зависимости объясняется, по аналогии с известным в физике пластичности эффектом Портевина—Ле Шателье, нелинейной гистерезисной зависимостью сил трения от скорости движения «доменных стенок» несопротивляемой структуры, обусловленной их взаимодействием с подвижными примесями в кристалле. Библ. 27.

А. Отко

КОН.
сплав

β - SiO_2

1989

2 Б3120. Химическая стабилизация β -кристобалита.
Chemical stabilization of β -cristobalite / Perrotta A. J.,
Grubbs D. K., Martin E. S., Dando N. R., McKin-
stry H. A., Huang C.-Y. // J. Amer. Ceram. Soc.— 1989.
— 72, № 3.— С. 441—447.— Англ.

Из систем Na_2O — Al_2O_3 — SiO_2 и CaO — Al_2O_3 — SiO_2 удалось получить химически стабилизированную β -фазу кристобалита. При нагреве в обл. т-р 800—1400° С хи-
мически высокоактивных исх. в-в в состоянии геля и цеолита получается стабилизированная фаза крист. тв. р-ра. Информация о пределах стабильности β -фазы, о характеристиках превращения α — β , об особенностях т-рной зависимости коэф. термич. расширения и о структурном состоянии крист. тв. р-ра получена методами высокот-рного РФА, ДСК, ДТГ, электронной мик-
роскопии, ЯМР и термомеханич. анализа. Св-ва β -фазы с $a=0,71272$ нм, полученной из геля $\text{Na}_2\text{O} : \text{Al}_2\text{O}_3 : 13,9\text{SiO}_2$ при 1000° С, и с $a=0,71189$ нм, полученной из геля $\text{CaO} : \text{Al}_2\text{O}_3 : 40\text{SiO}_2$ при 1000° С, сопоставлены со св-вами β -фаз, полученных из NH_4 -содержащего цеолита и из стекол, гомогенизированных при 1750° С.

В. А. Ступников

Х. 1991, № 2

(H_2)

SiO_2

(кварц)

1989

T_{tr} ,
фазовые
переходы

3 Е640. К термодинамической теории несоразмерных фазовых переходов в кварце / Санников Д. Г. // Физ. тверд. тела (Ленинград). — 1989. — 31, № 9. — С. 44—50

В термодинамич. потенциале, описывающем несоразмерные фазовые переходы в кварце (и в берлините), учитываются новые инварианты. Это позволяет получить последовательность фазовых переходов, наблюдаемую в эксперименте, а также получить новые решения для несоразмерной фазы. Предлагается скалярным воздействием на кристалл, напр., всесторонним сжатием P или напряжениями $\sigma_{xx} + \sigma_{yy}$, σ_{zz} , изменить либо род перехода из исходной в несоразмерную фазу, либо получить другое состояние несоразмерной фазы. Резюме

φ. 1990, № 3

SiO₂

1989

) 11 Е322. Измерения теплопроводности тонких пленок двуокиси кремния. Thermal conductivity measurements of thin-film silicon dioxide / Schafft Harry A., Suehle John S., Mirel Paul G. A // Proc. IEEE Int. Conf. Microelectron. Test Struct., Edinburgh, 13—14th March, 1989: ICMTC.— New York (N. Y.), 1989.— С. 121—125.— Англ.

В интервале т-р от комнатной до 255° С измерена теплопроводность пленок плавленого кварца с толщинами 3,04 и 1,74 мкм, расположенных на подложке (111) Si. Нагревание осуществлялось с помощью тока, пропускаемого через металлизированное покрытие. Показано, что теплопроводность пленок значительно меньше, чем следует из ее величины для массивных образцов, уменьшается с повышением т-ры и с уменьшением толщины пленки.

В. О.

φ. 1989, № 11

SiO₂

1989

, 112: 64157v Testing of a sorption microcalorimeter and measurement of immersion heats of silica gel. Tan, Xinyi; Yan, Haik; Hu, Riheng (Inst. Chem., Acad. Sin., Beijing, Peop. Rep. China). *Wuli Huaxue Xuebao* 1989, 5(5), 604-7 (Ch). A sorption microcalorimeter was constructed for the measurement of the heats of immersion of silica gels in water, toluene, and heptane.

(1 Rtr)

C.A. 1990, 112, n8

SiO₂

1989

1 E778. Новые полиморфные модификации высокого давления в кремнезёме. New high pressure polymorphs of silica / Tsuchida Yoshihiko, Yagi Takehiko // Techn. Rept. ISSP. A.— 1989.— № 2099.— С. 1—15.— Англ.

В камере высокого давления с алмазными наковальнями и лазерным нагревом рентгенографически изучены фазы высокого давления SiO₂ при давлениях до 120 ГПа. При сжатии образцов α -кварца или аморфного кремнезема до 60 ГПа при комнатной т-ре образовался стишовит (структура типа рутила). При нагреве образца, сжатого до 10 ГПа, образовался хорошо кристаллизованный стишовит. При нагреве образцов, сжатых до 108 и 120 ГПа, возникала структура типа CaCl₂, которая является искаженной структурой стишовита и несколько более плотной, чем стишовит. Этот переход является обратимым. При сжатии кристобалита при комнатной т-ре при ~10 ГПа возникает первая новая фаза, а при 30 ГПа вторая новая фаза, причем первая обратимым образом переходит в кристобалит, а вторая сохраняется при нормальных условиях. При нагреве этих фаз при давлении 10 ГПа они переходят в стишовит, что указывает на их метастабильный характер. Е. С. Алексеев

новые полиморфные модификации

cf. 1990, N 1

SiO₂

1989

11 E703. Новые индуцированные давлением структурные превращения в кремнеземе, полученные методом компьютерного моделирования. New pressure-induced structural transformations in silica obtained by computer simulation / Tsuneyuki Shinji, Matsui Loshito, Aoki Hideo, Tsukada Masaru // Nature.— 1989.— 339, № 6221.— С. 209—211. — Англ.

Методами молекулярной динамики изучены фазовые переходы в SiO₂ до 250 ГПа. Получены ур-ния состояния для кристобалита, кварца, коэзита и стишовита. Результаты для кварца, коэзита и стишовита до их фазовых переходов согласуются с экспериментом. В кристобалите при 16,5 ГПа обнаружен переход в новую фазу с ромбической элементарной ячейкой с параметрами $a=5,20 \text{ \AA}$, $b=7,44 \text{ \AA}$, $c=5,58 \text{ \AA}$, пр. гр. *Cmcm*, которая в свою очередь переходит при 23 ГПа в стишовит. В кварце обнаружен переход при $\sim 28-$

Tz2

оф. 1989, N 14

30 ГПа в новую фазу со структурой типа α -PbO₂. Коэзит при 15—20 ГПа переходит от моноклинной структуры к триклинической, а затем при 35—40 ГПа в структуру, в которой присутствует шестерная координация, что, возможно, соответствует описанной экспериментально аморфизации при ~30—34 ГПа. Стишовит до 250 ГПа не обнаруживает фазовых переходов. Т. обр., предложенный потенциал, при котором с точностью до 10% воспроизводятся все структуры и объемные модули всех фаз SiO₂ при комн. т-ре и норм. давлении, может быть использован для предсказания новых фаз.

Е. С. Алексеев

SiO₂

1989

112: 166412s Heat conductivity of silica treated in order to intensify its preparation. Varuzhanyan, A. A.; Manukyan, G. G.; Ermolaev, I. K.; Talaev, I. V. (Inst. Obshch. Neorg. Khim., Yerevan, USSR). *Arm. Khim. Zh.* 1989, 42(11), 692-6 (Russ). The thermal conductivities of untreated and specially thermally treated samples of silica were measured at 303-1773 K, with an error not greater than ± 0.01 W/mK. A table of data is presented for the temp. interval 386-1475 K. A smooth temp. curve was obtained for the treated sample.

*Merulox 1120 -
log 10 cm²*

c.A. 1990, 112, N 18

SiO_2

[Om. 33613]

1989

Kessal B., Amiri M., et al.

(rubber) Phil. Mag. B 1989, 60, N6,
753-775.

Water-like melting behaviour
of SiO_2 investigated by the molten-

lar dynamics simulation technique.

SiO_2

(Om. 32587)

1989

Wai C.M., Hutchison S. F.,

J. Chem. Educ. 1989,

66, NF, 546-549.

Sp;

SiO₂

1990

(lp)

114: 30970f The effect of hydroxide concentration on the low temperature heat capacity and Raman scattering of vitreous silica. Ahmad, N.; Matiullah (Cent. Nucl. Stud., Islamabad, Pak.). *Solid State Commun.* 1990, 76(3), 433-5 (Eng). Heat capacities of three different samples of vitreous silica (Spectrosil-B contg. 1200 ppm OH, Heralux contg. 130 to 180 ppm OH, and Spectrosil-WF contg. 20 ppm OH) were measured in the temp. range of 1.5 to 20 K by using heat pulse technique to det. the effect of OH concn. on heat capacity. The results indicate that the sp. heats of Spectrosil-B and Spectrosil-WF are almost identical and are 20% higher than those of Heralux. It was concluded that the variations in the sp. heat of com. available vitreous silica sold under different trade names are not due the variation in the amt. of OH present in them. The Raman scattering from Spectrosils are almost identical in the frequency range from 10 cm⁻¹ to 140 cm⁻¹. The Raman coupling const. was detd. and its form is different from that predicted by Martin-Brenig theory.

c.A.1991, 114, NY

SiO₂

1990

14 Б3100. Переходы α -несоразмерная фаза- β в кварце. Столетие исследований фазовых переходов со смещением. The α -inc- β transitions of quartz: A century of research on displacive phase transitions / Dolino G. // Phase Transit. B.— 1990.— 21, № 1.— С. 59—72.— Англ.

Обзор посвящен важнейшим результатам по α - β -переходу в кварце, полученным за последние 100 лет. Основные черты фазовых переходов в кварце, как и в $AlPO_4$, к настоящему времени прояснены. На макроскопич. уровне — это переход 1-го рода с изменением симметрии, описываемый теорией Ландау. На микроскопич. уровне — это фазовый переход со смещением, вызванный небольшими перемещениями атомов (в основном вращением тетраэдров SiO_4). Переход из α -фазы в высокот-рную промежут. несоразмерную фазу является дискретным с уменьшением частоты слабых колебаний до 30^{-1} см и протекает по механизму заро-

(Tz)

X. 1992, N 14

дышеобразования и роста. Переход $\beta \rightarrow$ несоразмерная фаза является непрерывным с понижением частоты колебаний практически до нуля и нелинейным изменением многих физ. св-в. Эти 2 различных перехода разделены фазой с интересными необратимыми св-вами, подверженными влиянию упругих напряжений и точечных дефектов. Библ. 76.

Е. М.



SiO₂

1990

15 Б3238. О проблеме растворимости оксида кремния при высоких рН. On the problem of silica solubility at high pH / Eikenberg J. // PSI Вег.— 1990.— № 74.— С. 1—54.— Англ.; рез. нем., фр.

Обзор данных по р-римости SiO₂ (I) в водн. р-рах с высоким рН: особенности строения тв. фазы, мономерные и полимерные формы гидроксидов; комплексы типа ионных пар $\text{NaSiO}(\text{OH})_3$ или $\text{NaSiO}_2(\text{OH})_2^-$ в водн. р-рах; константы равновесия. Соотв. аналитич. химия и ее достоверность. Р-римость I в водн. р-рах NaOH при т-рах 25 и 90° С. Образование полимеров быстро снижается с ростом т-ры, а р-римость повышается. Библ. 70. Л. В. Арсеенков

(растворимость)

X. 1991, N 5.

SiO_2

[Om. 35914]

1990

billet P., Le Cléac'h A.;
et al.,

T_{eff} ,

nonunop - J. Geophys. Res. 1990,
Phys. 95, N 13, 635-655

SiO_2

(KRUENSTANUM)

C_p (300-1000 K)

pacem
merriof.
 ϕ -III

1990

Froenwald F.,

Heat capacity of Cris-
tobalite in the re-
gion 300 to 1000 K
and transition beha-
viour

45th Annual Calorimet-
ry Conference USA, Ann Arbor '93

Michigan, 1990 July 22-27, p. 143.

SiQ

(Dn. 38481)

no date 1989.

Hildenbrand D.H., Lau K.H.,

J. Chem. Phys., in press

χ_p ,

(ΔH_f)

Thermochimistry of various
 SiO(OH) , SiO(OH)_2 and
 SiO_2

SiO_2

(DM 34616)

1990

Jin Y., Wunderlich B.,

J. Therm. Anal., 1990,

36, N° 2, 765-789.

(G)

SiO₂

1990

11 E647. Плавление окиси кремния до 7 ГПа. Melting of silica up to 7 GPa / Kanzaki Masami // J. Amer. Ceram. Soc.— 1990.— 73, № 12.— С. 3706—3707.— Англ.

Методами порошковой рентгенографии и оптич. микроскопии изучена структура образцов SiO_2 , закаленных после выдержек при давлениях (P) от 3 до 7 ГПа и т-рах (T) $2300\text{--}2800^\circ\text{C}$ в капсулах из графита, Re или Mo. Установлено наличие тройной точки β -кварц—коэзит—жидкость при $P=4,5$ ГПа и $T=2450^\circ\text{C}$. Наклон кривой плавления при $P>4,5$ ГПа возрастает и при $P=7$ ГПа $T_{\text{пл}}$ достигает $\sim 2700^\circ\text{C}$. На зависимости плотности закаленных образцов d_3 от P обнаружен скачок вблизи 4 ГПа. Значения d_3 сопоставлены с величинами d , полученными обработкой SiO_2 при т-рах $20 \leq T \leq 500^\circ\text{C}$.

E. Z. C.

φ. 1991, N 11

SiO_2 (amorphous)

1990

(SH, A-flo)

113: 139996e Thermochemistry of the amorphous system silicon dioxide-germanium dioxide: comparison of flame hydrolysis materials to high temperature fused glasses. Maniar, P. D.; Navrotsky, A.; Draper, C. W. (Dep. Geol. Geophys. Sci., Princeton Univ., Princeton, NJ 08544 USA). Mater. Res. Soc. Symp. Proc. 1990, 172(Opt. Fiber Mater. Process.), 15-20 (Eng). Energetics and structure of germania doped silica prepd. from high temp. melts and

④ SiO_2 (amorphous)

C. A. 1990, 113, N 18

by flame hydrolysis were investigated using transposed temp. drop and soln. calorimetry. Heat contents ($H_{973}-H_{298}$) are similar for first and second drops for the flame hydrolysis preforms reflecting the effect of temp. of deposition (1073 K) in creating a relaxed structure which is not easily rearranged. Heats of soln. at 973 K in molten lead borate, of fused glasses along the $\text{SiO}_2\text{-GeO}_2$ binary show ideal heats of mixing between the end members. This indicates that fused glasses behave in a simple manner, with ideal substitution of Ge for Si in the tetrahedral framework. Flame hydrolysis samples (preform and annealed glasses) also show ideal heats of mixing. This suggests that the flame hydrolysis materials are energetically very similar to their bulk-melted counterparts. This insensitivity of energetics to prepn. conditions is consistent with the previous studies on silica prep'd. at various temps.

SiO₂

1990

(SH)

113: 90337u Molecular silicon dioxide, matrix IR investigations and ab initio SCF-calculations. Mehner, T.; Goecke, H. J.; Schunck, S.; Schnocikel, H. (Anorg.-Chem. Inst., Westfälischen Wilhelms-Univ., D-8000 Münster, 2 Fed. Rep. Ger.). *Z. Anorg. Allg. Chem.* 1990, 580, 121-30 (Ger). Dimeric SiO₂ is formed in a matrix reaction between (SiO)₂ and O₂. Its structure, O:Si(μ-O):Si:O, can be deduced from the IR spectra of different ¹⁶O-substituted isotopomers. The obsd. frequency shifts (¹⁶O/¹⁸O and ²⁸Si/²⁹Si) are in accordance with those calcd. by a normal coordinate anal. The structure concluded from exptl. data is also confirmed by quantum chem. calcns. With the help of these calcns. the dimerization energy 2SiO₂ ⇌ (SiO₂)₂ is obtained: -453 kJ mol⁻¹. The mechanism of formation of (SiO₂)₂ from (SiO)₂ and O₂ is discussed with respect to some similarities to the elementary process during oxidn. of the surface of Si wafers.

④1
17 (SiO₂)₂

C.A. 1990, 113, N. 10

SiO_2

OM: 33648

1990

Richter P.,

G. Tz, Phys. Chem. Min., 1990,
Akademie, 17, N1, 79-88

SiO₂

1990

114: 49973f Mathematical modeling of an ionic liquid in a supercooled state. Shiff, V. K. (GIO, Leningrad, USSR). *Teplofiz. Vys. Temp.* 1990, 28(4), 672-6 (Russ). The isobaric and isochoric supercooling of ionic models for SiO₂ and BeF₂ melts at lower than m.p. temps. was studied by Monte Carlo calcns. on N_pT - and N_vT -ensemble. Based on the anomalous behavior of the heat capacity and breaking of the ρ vs. T isobar, an ionic liq.-supercooled state transition is deduced.

Gr

(#) 18 BeF₂

C.A. 1991, 114, N 6

S. O₂

1990

Сергиенко В. А.

Инженерного Н. Д. и гп.

Узб. Академия Наук.

soln. 1990. 26, N 1.
C. 118 - 120.

(сост. MnO; I)

SiO_2

1990

Stukalo V. A., Neshchimenko N. Ya., et al.

Izv. Akad. Nauk SSSR,
Neorg. Mater. 1990, 26
(1), 121-4.

(crys. MnO ; I)

SiO_2

1990

113: 160021n Gibbs energy of formation of some silicon compounds. Tolstoguzov, N. V. (Sib. Metall. Inst., USSR). *Izv. Vyssh. Uchebn. Zaved., Chern. Metall.* 1990, (8), 25-6 (Russ). Literature data were used to calc. the free energies of formation of SiO_2 (c,liq), SiO(g) , and SiC(c) for various temp. intervals. Two- and three-parameter correlation equations are presented.

(Af)

(f2) SiO_2 SiC

C. A. 1990, 113, N 18

SiO₂

1990

4 E740. Новые индуцированные давлением превращения окиси кремния при комнатной температуре. New pressure-induced transformations of silica at room temperature / Tsuchida Yoshihiko, Yagi Takehiko // Nature.— 1990.— 347, № 6290.— С. 267—269.— Англ.

На установке высокого давления при комн. т-ре рентгенографически изучено поведение SiO₂. Показано, что при давл. ~10 ГПа происходит переход фазы SiO₂ со структурой кристобалита в кристаллич. фазу XI, а затем при ~30 ГПа возникает еще одна фаза XII, которая сохраняется до 60 ГПа. При нагреве выше 1000°С при давл. 15 ГПа фаза XI переходит в фазу со структурой стишовита. Предполагается, что новые фазы являются метастабильными.

Е. С. Алексеев

(Tz)

96.1991, NЧ

SiO₂

1990

№ 10 E526. Исследование методом молекулярной динамики структурного фазового перехода α — β в кварце. Molecular-dynamics study of the α to β structural phase transition of quartz / Tsuneyuki Shinji, Aoki Hideo, Tsukada Masaru // Phys. Rev. Lett.— 1990.— 64, № 7.— С. 776—779.— Англ.

Методом молекулярной динамики с использованием первопринципного неэмпирич. потенциала вида $U_{ij}^i = -Q_i Q_j / r + t_0(b_i + b_j) \cdot \exp[(a_i + a_j - 1) / (b_i + b_j)] - c_i c_j / r^6$, где r — расстояние между атомами i и j , исследован фазовый переход из α -кварца в β -кварц. Показано, что переход происходит при $T = 850$ К, плотность α -кварца при $T = 300$ К равна $2,47$ г/см 3 , что на 7% отличается от эксперим. значения (2,65 г/см 3). Показано, что β -кварц нестабилен и реализуется как среднее между фазами α_1 и α_2 с зависящими от т-ры длиной и временем корреляции.

Е. С. Алексеев

(β т₂)

φ. 1990, № 10

SiO₂

1990

11 Е291. Температурные коэффициенты линейного расширения поликристаллических фаз кремнезема при полиморфных превращениях / Вишневский И. И., Киреева Н. Л., Литвин М. Л., Сazonov Ю. И. // Изв. АН СССР. Неорган. матер.— 1990.— 26, № 7.— С. 1476—1480

На основании дилатометрич. измерений, выполненных с температурным шагом 1—2° С, рассчитаны температурные коэф. линейного расширения (α) поликристаллических однофазных образцов кремнезема и механич. смесей различных его фаз, также определены максим. значения температурных коэф. линейного расширения при т-рах полиморфных превращений $\alpha \rightarrow \beta$ кристобалита и кварца и $\alpha \rightarrow \beta \rightarrow \gamma$ -тридимита. Продемонстрирована возможность использования значений $\alpha(t)$ для качественного и количественного фазового анализов кремнеземистых материалов.

Резюме

φ. 1990, № 11

SiO₂

1990

16 Б3091. Система кремний — кислород. The O-Si (oxygen-silicon) system / Wriedt H. A. // Bull. Alloy Phase Diagr.— 1990.— 11, № 1.— С. 43—61.— Англ.

Обобщены лит. данные по фазовым соотношениям в системе кремний — кислород. Представлена фазовая диаграмма системы, в к-рой образуется единственное устойчивое соединение SiO_2 , существующее в нескольких модификациях: низкот-рный кварц (т-ра превращения $\sim 574^\circ\text{C}$), высокот-рный кварц ($\sim 870^\circ\text{C}$), тридимит ($\sim 1417^\circ\text{C}$), кристобалит (1470°C). Т. пл. SiO_2 1726°C . Охарактеризованы метастабильные фазы. Приведены кристаллографич. и термодинамич. х-ки полученных фаз. Библ. 247.

Л. Г. Титов

(T_{t2} , T_m)

Х./991, № 16

Sil₂

1991

) 23 Б2533. Теплоемкость кварцевого стекла, облученного нейтронами / Давронов О., Касимов К., Касимов Н. А. // Радиац. физ. тверд. тела: Тез. докл. 1 Регион. конф. респ. Сред. Азии и Казахстана, Самарканд, 21—23 мая, 1991. Ч. 3.— Самарканд, 1991.— С. 892.— Рус.

Gp;

X. 1991, № 23

SiO_2

Лм 35536

1991

Дорогожуков Н.Н.,

ДОКЛ. АН СССР, 1991,

317, №, 1450-1454

$\text{G}_\text{p}, \text{F}_{\text{t}2},$
 $\Delta \text{H}_{\text{t}2},$

yp-ke COOM.

filQ₂

[Omnick 35716] 1991

Дорогокуны Н.-Л.,

(1-аконка-
реколлекция, 1991, №,
нум) 1230 - 1239.

SiO_2 , Год открытия В. Б.
 Красн.
(УлГУ, Химия)

Ом. 41892 } 1991

№(9)Х, 1991, 65, №2, с. 327 - 336

I. Технология обогащения флотационной SiO_2
 и кристаллизации

$$\Delta H_2(\text{SiO}_2, 298) = -51,247 \times 15 = -772,446 \text{ кДж/кмоль}$$

$$\begin{aligned}
 \Delta H_1(\text{крист.}) &= -896,49 - 1,33 \times 9 = -908,46 \text{ кДж/кмоль} \\
 &= -217,13 \text{ кДж/кмоль}
 \end{aligned}$$

1991

11 Б3112. Порошковые рентгенограммы и фазовое
отношение модификаций тридимита. X-ray powder dif-
fraction patterns and phase relationship of tridymite
modifications / Graetsch H., Flörke O. W. // Z. Kristal-
logr.— 1991.— 195, № 1—2.— С. 31—48.— Англ.

Рентгенографически изучены (λ Cu, камера Гинье и
дифрактометр при $T = 25—700^\circ\text{C}$) полиморфы триди-
мита (T): упорядоченный низкот-рный T (УНТ), раз-
упорядоченный низкот-рный T (РНТ) и модификация
УНТ—УНТ1. Найдено, что при $T > 160^\circ\text{C}$ поли-
морфы УНТ и УНТ1 претерпевает переход в монокл.
фазу — высокот-рный T, при 210°C — в ромбич. высо-
кот-рный T, а выше 400°C — в гексагон. высокот-рный
T. Полиморф. РНТ обнаруживает только 1 фазовый пе-
реход при 170°C . Все изученные переходы обратимы.
Приведена таблица значений d, I_{hlk} для УНТ, РНТ,
УНТ1 и высокот-рного гексагон. T, а также параметры
элементарной ячейки всех изученных модификаций.

С. С. Мешалкин

210

(T₂)

X. 1992, N 11

SiO₂

1991

15 Б3104. Фазовый переход α — β в кристобалите, SiO_2 . Анализ симметрии, доменная структура и динамическая природа β -фазы. The α — β phase transition in cristobalite, SiO_2 . Symmetry analysis, domain structure, and the dynamical nature of the β -phase / Hatch D. M., Ghose S. // Phys. and Chem. Miner.— 1991.— 17, № 6.— С. 554—562.— Англ.

(T_{t2})

На основе формализма теории Ландау и методом проекции операторов выполнен анализ изменения симметрии при переходе кристобалита из β -фазы (пр. гр. $Fd\bar{3}m$ при 220°C) в тетрагональную структуру с пр. гр. $P4_32_12$ (или $P4_12_12$). За стартовую точку берется идеальная кубич. ($Fd\bar{3}m$) структура типа C9 с параметром решетки a (7,432 Å) слегка большим, чем известный a (7,195 Å при 205°C) β -фазы, так, чтобы угол связи Si—O—Si оставался 180° , но длина связи Si—O была 1,609 Å. Механизм превращения 1-го рода (инду-

1991, N 15

цированный флюктуациями) включает одновременно трансляцию и вращение тетраэдров SiO_2 , взаимодействующих вдоль направления [110]. Вследствие перехода в α -фазе ожидается три типа доменов, к-рые в α -фазе имеют макроскопич. размеры и статич. характер, а в β -фазе микроскопич. размеры и динамич. характер.

рист.

SiD_2 1990
Jin Y., Wunderlich B.

g. Therm. Anal. 1990,
 $(\rho, 348-548\text{K})$ 36 (2), 765-789.

(Cdl.  Al; I)

SiO₂

Оп 35704

1991

24 Б3025. Термодинамика полиморфных модификаций кремнезема / Кусков О. Л., Жидикова А. П., Семенов Ю. В., Бабич Ю. В., Фабричная О. Б. // Геохимия.— 1991.— № 8.— С. 1175—1185.— Рус. рез. англ.

Методом высокот-рной калориметрии определены энталпии р-рения синтетических образцов кварца (I) (23 опыта) и коэсита (II) (16 опытов) при 973 К и вычислена энталпия фазового превращения β -I — II: $\Delta H^{\circ}_{973,15} = 1,65 \pm 0,42$ кДж/моль. На основе данных по теплоемкости минералов с учетом калориметрич. определений Акаоги и Навроцкой рекомендована новая величина энталпии перехода α -I — коэсит: $\Delta H^{\circ}_{298,15} = 3,07 \pm 0,57$ кДж/моль. Из калориметрич. определений, данных по фазовым равновесиям и ур-ниям состояния минералов вычислены энтропия перехода α -I — II: $\Delta S^{\circ}_{298,15} = 2,91 \pm 0,60$ Дж/(моль·К), а также термодинамич. ф-ции II, $\Delta_f H^{\circ}_{298,15} = -907,63 \pm 1,5$ кДж/моль, $S^{\circ}_{298,15} = 38,55 \pm 0,63$ Дж/моль·К. Из Р—Т-данных по

(*SiO₂; SiAl₂O₅*)

X. 1991, N. 24

фазовым равновесиям, калориметрич. определений и ур-ний состояния минералов вычислены станд. значения энталпии и энтропии перехода II — стишовит (III) и термодинамич. ф-ции III.

и чес
торим
ппг

SiO₂

1991

(T_{E2})

115: 80047b Low-temperature transient thermal anomalies in vitreous quartz. Madsen, James M.; Trefny, John U. (Phys. Dep., Colorado State Univ., Golden, CO USA). *J. Low Temp. Phys.* 1991, 83(3-4), 195-215 (Eng). Fast-time (10-100 μ s) heat-pulse methods were employed to obtain simultaneously the sp. heats and thermal diffusivities of vitreous quartz at low temps. The expts. were designed to look for a time dependence in the sp. heat as predicted by the tunneling model used to describe the low-temp. thermal properties of amorphous materials. No time dependence was obsd. over the range 0.6 to 3.4 K when the pulses were analyzed using the response predicted by std. heat-diffusion theory. However, a large, reproducible, and systematic dependence on the input energy of the heat pulse was obsd. in the measured properties of the samples.



c.A. 1991, 115, n8

SiO₂

1990

6 Е290. Термоемкость аэрогелей двуокиси кремния при очень низких температурах. Specific heat of silica aerogels at very low temperatures / Sleator T., Bernasconi A., Felder E., Posselt D., Ott H. R. // Physica. B.—1990.—165—166, Pt 2.—С. 907—908.—Англ.

С помощью нового динамич. метода в интервале т-р от 0,07 до 25 К измерена теплоемкость C_p трех образцов аэрогелей SiO₂ с плотностями 0,145; 0,195 и 0,27 г/см³. Установлено, что величина C_p почти не зависит от плотности выше 1 К. Ниже 1 К для двух менее плотных образцов $C_p \sim T^{0,9}$ до $T = 0,12$ К, а для более плотных $C_p \sim T^{1,0}$ в интервале от т-р 0,13 до 0,6 К.

В. О.

(C_p)

ф. 1991, № 6

SiO₂

1990

18 Б3183. Исследование методом молекулярной динамики структурного фазового перехода α — β в кварце. Molecular-dynamics study of the α to β structural phase transition of quartz / Tsuneyuki S., Aoki H., Tsukada M. // Phys. Rev. Lett.— 1990.— 64, № 7.— С. 776—779.— Англ.

Методом молек. динамики, с использованием межатомного ПТ для вычисления кластеров, исследован переход в SiO_2 от низкот-рной α -фазы с пр. гр. $P3_121$ при 846 К в высокот-рную β -фазу с пр. гр. $P6_222$. Использована аппроксимация ПТ жесткого иона и, поскольку т-ра перехода намного выше т-ры Дебая (470 К), применена классич. динамика. Однако в модели не обсуждается проблема существования промежут. несоразмерной фазы. Моделирование показало резкое изменение коэф. линейного расширения при $T_0=850—900$ К. Абс. величина равновесной плотности α -фазы при 300 К составила 2,47 г/см³, что близко к

*Фазовый
переход*

X. 1990, N/8

эксперим. величине (2,65, г/см³). Никакого гистерезиса при переходе не обнаружено. При 850 К атомная конфигурация системы скачками меняется между двумя эквивалентными α_1 и α_2 структурами путем негармоничных движений с т-рно зависимым временем корреляции.

В. А. Ступников



1990

12 Б3232. Растворимость аморфного кремнезема в щелочной водной среде при постоянной ионной силе
Зарубин Д. П., Немкина Н. В. // Ж. неорган. химии.
— 1990.— 35, № 1.— С. 31—38.— Рус.

Изучена р-римость аморф. осажденного SiO_2 при 25°C в водн. р-рах в обл. pH 8—11 при постоянных значениях ионной силы 1,0 и 3,0, поддерживаемых NaCl. Проведены также потенциометрич. измерения $[\text{H}^+]$ и вычислены значения средн. титруемого заряда на атом Si в жидк. фазе (Z) и в тв. фазе (Z_s) при стабильном равновесии р-римости. Зависимость Z_s от pH и результаты исследования осадков методами рентгенографии и низкот-рной адсорбции азота (БЭТ) показали, что структура тв. фазы, находящейся в равновесии с р-ром, меняется в обл. $\text{pH} > 10$. Зависимости р-римости от pH, конц-ии насыщения Si(OH)_4 в обл. $\text{pH} > 10$ также меняются. На основе данных в обл. $\text{pH} < 10$ установлены константы р-римости кремнезема в виде Si(OH)_4 , обсуждается стабильность в р-ре анионов с зарядом —1 и —2 и полиядерностью 2, 3 и 4.

расторгнуто

X, 1990, N 12

Показано, что анион $\text{Si}_4\text{O}_6(\text{OH})_6^{2-}$ не является доминирующим в насыщ. щел. р-рах SiO_6 . Резюме

иепон
— C —

SiO₂
(стекло)

1991

22 Б318. Термоемкость и низкочастотные колебательные состояния стекловидного кремнезема типа Spectrosil-WF. Heat capacity and low-frequency vibrational states of Spectrosil-WF / Ahmad N. // Pakistan J. Sci. and Ind. Res. — 1991. — 34, № 5. — С. 373—376. — Англ.

С использованием метода тепловых импульсов при т-рах 1,5—17К измерена теплоемкость Spectrosil-WF (стекловидного кремнезема, содержащего менее 20 млн. д. OH). Кратко описан метод, к-рый м. б. использован для определения плотности низкочастотных колебат. состояний g из низкот-рной теплоемкости стеклообразных в-в. Найдено, что Spectrosil-WF имеет неквадратичную форму зависимости g от частоты (v). С использованием величин $g(v)$, определенных из измерений теплоемкости и комбинац. рассеяния света, рассчитаны константы Рамановского вз-вия $C(v)$. Установлено, что форма $C(v)$ не может быть объяснена в рамках теории Мартина—Бренига.

В. Ф. Байбуз

(1.5-17K)

X. 1995, N 22

Sil2

(Он. 35 400)

1991

Дубровинский А.С., Тюлес-
ев Г.О. и др.,

Докл. Академии СССР, 1991,

316, №  , 1465-1468

Фарбое рабе  овесце . Сине-

штобум - Компьютерное
изображение SiO_2 и SiO
период: например

SiO₂ (amorph.)

0M/36701

1992

117: 119518z Thermal conductivity and heat capacity of amorphous silica: pressure and volume dependence. Andersson, Staffan; Dzhavadov, Leonid (Dep. Phys., Univ. Umea, S-90187 Umea, Swed.). *J. Phys.: Condens. Matter* 1992, 4(29), 6209-16 (Eng). The thermal cond. (λ) and heat capacity per unit vol. (ρ_{cp}) of amorphous SiO₂ were measured under hydrostatic pressure up to 1 GPa at room temp. by using a transient two-strip method. The thermal cond. was found to decrease slightly with increasing pressure. For the vol. dependence of λ expressed by the Bridgman parameter, $g = -(\partial \ln \lambda / \partial \ln V)_T$, the authors obtained $g = -1.5$. The exptl. value of g is discussed in conjunction with predicted g -values based on theor. models of λ (7). The sp. heat capacity (cp) calcd. from measured ρ_{cp} was found to be almost const. with increasing pressure.

(P)

C.A. 1992, 117, N12

1992

SiO_2
(aerogel)

(Cn. 37038)

117: 176566n Low-temperature specific heat and thermal conductivity of silica aerogels. Bernasconi, A.; Sleator, T.; Posselt, D.; Kjems, J. K.; Ott, H. R. (Lab. Festkoerperphys., ETH Hoenggerberg, 8093 Zurich, Switz.). *J. Non-Cryst. Solids* 145(1-3), 202-6 (Eng). Sp. heat, C_p , and thermal cond., λ , were detd. on a series of base-catalyzed silica aerogels at 0.05-200 K. Results for both $C_p(T)$ and $\lambda(T)$ confirm that the different length scale regions obsd. in the aerogel structure are reflected in their dynamic behavior.

(C_p)

C.A. 1992, 117, N 18

SiO₂

1992

5 E494. Новая модель вызванного ударом фазового перехода α -кварц \rightarrow стишовит в кремнеземе. New model for the shock-induced α -quartz \rightarrow stishovite phase transition in silica / Boettger F. C. // J. Appl. Phys. — 1992 .—

(T_{tz})

φ 1993, N5

Состояния (позади фронта) может быть охарактеризована одним параметром $\lambda(r, t)$ — объемной долей стишовита в данный момент времени t в данном месте. Допускается, что в процессе нагружения λ может быть описана функцией плотности Гюгонио: $\lambda(r, t) = \lambda_h[\rho(r, t), t]$. Предполагается также, что вызванное ударом фазовое превращение начинается на равновесной фазовой границе ($\Delta G = 0$). Соответствие точности расчетов с экспериментом зависит от точности предсказания зависимости λ от ΔG . Если предположить, что $\Delta G \sim \lambda^{1/3}$, то характер превращения соответствует общей теории зарождения и роста фаз. Библ. 42.

Н. Т.

SiO_2

1992

) 2 E256. Теплопроводность тонких пленок SiO_2 . Thermal conductivity of thin SiO_2 films / Brotzen F. R., Loos P. J., Brady D. P. // Thin Solid Films. — 1992. — 207, № 1—2. — С. 197—201. — Англ.

(мелкое
издание)

φ. 1993, № 2

SiO_2

1992

Dembovskii S. A.

$(\Delta_{t_2} \rho, T_{t_2})$ Solid State Commun.
1992, 82 (9), 641-4.

($\text{cell. } \bullet \text{ } \text{B}_2\text{O}_3$, -)

SiO₂

1992

2 Е603. Синтез высокоплотной фазы двуокиси кремния в ударных волнах / Герман В. Н., Подурец М. А., Трунин Р. Ф. // Свойства конденсир. веществ при высок. давлениях и температурах / М-во атом. энерг. и пром-сти. ЦНИИ упр., экон. и инф. — Б.м. , 1992 .— С. 287—288 .— Рус.

Методом рентгеноструктурного анализа исследована кристаллич. структура SiO_2 после обжатия ее ударными волнами с конечной амплитудой 350, 500, 700 и 900 кбар. Установлено, что воздействие на образцы SiO_2 ударной волной амплитудой 700 и 900 кбар приводит к перестройке решетки α — кварца в ромбич. решетку с параметрами $a=4,30 \text{ \AA}$, $b=4,70 \text{ \AA}$ и $c=4,50 \text{ \AA}$. Кристаллич. плотность новой фазы SiO_2 , вычисленная из параметров решетки, $\rho=4,435 \text{ г/см}^3$.

(T_{t2})

φ. 1993, № 2

1992

F: SiO₂

P: 1

10Б225. Структурные свойства девяти полиморфных модификаций диоксида крем Structural properties of nine silica polymorphs / Keskar Nitin R., Chelik James R. // Phys. Rev. B. - 1992. - 46, N 1. - C. 1-13. - Англ.

РЭСХ 1992

SiO₂

1992

8 E552. Структурные свойства девяти полиморфных фаз двуокиси кремния. Structural properties of nine silica polymorphs / Keskar N. R., Chelikowsky J. R. // Phys. Rev. B. — 1992. — 46, № 1. — С. 1—13. — Англ.

Рассмотрены структурные и упругие свойства полиморфных фаз SiO₂. На основе неэмпирич. подхода изучен λ -кварц, стишовит, структуры типа CaCl_2 , флюорита, структура с пр. гр. Pa 3. Они соответственно являются представителями структур с координацией катионов, равной 4, 6 и 8. С помощью полевой модели с парными межатомными силами изучены эти структуры, а также другие полиморфные фазы типа β -кварца, λ - и β -кристаллита, β -тридимита. Для всех структур определены изменения параметров решетки и внутренних координат в зависимости от давления, а также получены ур-ния состояния. Проведено сравнение с эксперим. данными.

Е. С. А.

QD, 1993, N 8

SiO₂

1992

17 Б2036. Статическое разупорядочение в додекасиле 3С. Монокристальное исследование на синхротронном излучении. Static disorder of dodecasil 3C. A single-crystal study with synchrotron radiation /Könnecke M., Miehe G., Fuess H. //Z. Kristallogr. —1992 .—201 , № 1—2 .—С. 147—155 .—Англ.

Проведен РСТА (λ 0,593 Å (синхротронное излучение), анизотропный МНК по 544 отражениям до R 0,057) при 573 К додекасила 3С 136SiO₂ (I), синтезир. гидротермально при 200° С. Кристаллы I кубич., а 19,369 Å, ф. гр. $Fd\bar{3}m$. Найдено расщепление позиций трех атомов О, межатомные расстояния в структуре I Si—O 1,569—1,598 Å, углы SiOSi 157,50—175,78°. Обсуждается выбор ф. гр. для I.

С. С. Мешалкин

X 1993, N 17

SiO₂

1992

1 9Е290. Термические свойства аэрогелей кремнезема между 1,4 и 330 К. Thermal properties of silica aerogels between 1,4 and 330 K / Scheuerpflug P., Hauck M., Fricke J. // J. Non - Cryst. Solids. — 1992. — 145, № 1—3. — С. 196—201.

— Англ.

Теплоемкость C_p и теплопроводность λ аэрогелей SiO_2 (I) с плотностью 62—262 кг/м³, измерены в интервалах т-р 5—330 и 1,4—330 К соответственно. Определены теплофиз. свойств пористого I как возможного теплоизоляционного конструкционного материала в космич. технике и эффективного адсорбента в вакуумной технике.

(Gp)

Зависимость λ (T) I аналогична λ SiO_2 , вт в интервале 100—330 К и λ , викор в интервале 20—330 К, но пс

Ф. 1993, N 9

SiO₂

1992

7E490. Свободная энергия Ландау и поведение параметра порядка при фазовом переходе α/β в кристобалите. Landau free energy and order parameter behaviour of the α/β phase transition in cristobalite / Schmahl W. W.; Swainson I. P., Dove M. T., Graeme-Barber A. // Z. Kristallogr.. — 1992. — 201, № 1—2. — С. 125—145. — Англ.

Исследован фазовый переход 1-го рода от кубич. структуры с пр. гр. $Fd\bar{3}m$ к тетраг. структуре с пр. гр. $P4_{1,2},2$ при т-ре 533К в кристобалите со скрытой теплотой 1256 Дж/моль. Переход происходит с большим (5%) скачком объема. Методами нейтронографии и порошковой рентгенографии изучено поведение во времени структурного параметра порядка при $\alpha-\beta$ -переходе в кристобалите. Система хорошо описывается с помощью однодоменного приближения с единственной активной компонентой параметра порядка и не получено под-

(Tz)

9.1993, N 7

тврждения существования связи между возможными остальными шестью компонентами. Показано, что теория Ландау может быть успешно применена для количественного анализа фазовых переходов 1-го рода. Хотя скачок $\Delta\Omega$ параметра порядка при разрывности 1-го порядка составляет 0,8, тепловое расширение низкотемпературной фазы, а также скачок деформации количественно определяются линейной связью между деформацией и квадратом амплитуды параметра порядка, соответствующим несобственному сегнетоупругому поведению.

Е. С. А.

упре

SiO₂

1992

7Е489. Изучение фазового перехода кристобалита в стишовит псевдопотенциальным периодическим методом Хартри—Фока. Pseudopotential periodic Hartree—Fock study of the cristobalite to stishovite phase transition / Silvi B., Jolly L.-H., D'Arco Ph. // J. Mol. Struct. Theochem.. — 1992. — 260. — С. 1—9. — Англ.

Silicon is tetracoordinated in most silica polymorphs except stishovite, in which it is hexacoordinated. Pseudopotential periodic Hartree—Fock calculations have been performed to study a possible reaction pathway between cristobalite and stishovite. The calculated transition pressure (6 GPa) is consistent with the stishovite synthesis pressure range, whereas the activation enthalpy at 0 K is predicted to be of the order of 125 kJ per SiO₂ mole under that pressure. Electron density has been plotted for different geometries intermediate between low-cristobalite and stishovite equilibrium structures. The ionicity increases and the electron density around oxygen and silicon atoms becomes more spherical as the system becomes hexacoordinated.

(Tz)

ab 1993, № 7

file 2 Tse John S., Kuey D.D., 1992
Le Page Y.,

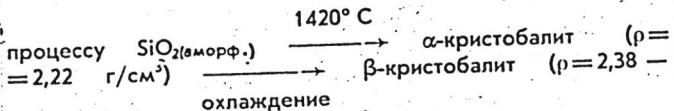
(Tz) phys. Rev. B. - 1992,
Y₆, N 10, C. 5933 - 5938
Kuromatsu and Oxford University
and the Cokerne  Gabreill
P. d. P. N 10, 1993, IDE 601

SiO₂

1993

19 Б3108. Применение термомеханического и дифференциально-термографического анализа для изучения поведения кристаллизации SiO_2 в процессе термического превращения каолинита. Application of TMA and DTA for study of the crystallization behaviour of SiO_2 in the thermal transformation of kaolinite /Chakravorty A. K. //J. Therm. Anal. — 1993 . — 39 , № 3 . — С. 289—299 . — Англ. ;рез. нем.

С помощью ТМА, ДТМА, ДТА, РФА исследовано термич. поведение каолинита, в частности, кристаллизация аморф. SiO_2 . В экспериментах глину формировали в цилиндрич. образцы массой 5 г. Превращения соответствуют



Б. Г. Коршунов

X. 1993, N 19

SiO₂

1993

7 Б3088. Растворение кварцевого стекла в расплаве высокочистого кремния /Девятых Г. Г., Еремин А. И., Львов А. Ю., Михеев В. С., Прончатов А. Н. //Высокочистые вещества.—1993.—№ 5.—С. 7—14.—Рус. ;рез. англ.

Изучен процесс р-рения кварцевого стекла в расплаве высокочистого кремния в интервале т-р 1430—1520° С. За интенсивностью процесса следили по убыли толщины кварцевых пластинок, помещенных в жидк. кремний. Скорость р-рения кварцевого стекла вблизи открытой поверхности расплава в зависимости от т-ры изменялась от 25,5 до 73,7 мкм/ч, в глубине жидк. кремния — от 5,4 до 8,5 мкм/ч.

X.1994, № 7

1993

SiO₂

7 Б2006. Высокотемпературные фазовые переходы в тридимите Штайнбаха. High-temperature phase transitions in Steinbach tridymite /de Dombal R. F., Carpenter M. A. //Eur. J. Miner. .—1993 .—5 ,№ 1—6 .—С. 607—622 .—Англ.

Методами рентгеновской дифракции высокого разрешения (высокот-рная камера-монохроматор Гинье), ДСК и ИК-спектроскопии исследованы фазовые переходы в тридимите Штейнбаха. При охлаждении образцов обнаружены 2 перехода. 1-й из них при 465° С, связанный с изменением симметрии $P6_3/mmc$ в $P6_{3}22$, 2-го рода и характеризуется значит. деформацией объема. При 2-м переходе ($T_c \approx 353^{\circ}$ С) становится стабильной ромбич. решетка С (симметрия $C222_1$). Предложенная для него модель перехода 2-го рода согласуется с наблюдаемыми фактами. Для обоих переходов определены небольшие

(T_{c2})

X, 1995, № 7

502

1993

17 Б3013. Химия фрагментов, элементов и границ в приложении к термодинамическому описанию кремнезема как твердого тела. 1. Определения и общие вопросы /Евдокимов В. Б. //Вестн. МГУ. Сер. 2.—1993.—34, № 1.—С. 49—54.—Рус.

Предполагается, что кремнезем и родственные ему тв. тела можно представить как совокупность фрагментов с присущими им характерными колебаниями. Каждый фрагмент можно разложить по элементам и границам. Система фрагментов не обменивается с окружающей средой в-вом, а внеш. магнитные и электрич. поля отсутствуют. Между фрагментами возникают условные хим. р-ции, к-рые сопровождаются обменом фононами. Поэтому рассматривается установление термич. равновесия в системе фрагментов.

X, 1993, N 17

Sil₂

1993

8 Б3003. Химия фрагментов, элементов и границ в приложении к термодинамическому описанию кремнезема как твердого тела .2 .Фундаментальные соотношения /Евдокимов В. Б. //Вестн. МГУ. Сер. 2 .—1993 .—34 № 3 .—С. 266—272 .—Рус.

Рассмотрена замкнутая система при наличии в ней хим. р-ций на т-рном интервале $0 < T < T_p$. Непрерывный колебат. континuum тв. тела представляется совокупностью колебаний фрагментов. Показано, что скорость произв-ва энтропии при $T \rightarrow 0$ равна нулю. Поэтому если на том же т-рном интервале есть минимум произв-ва энтропии, то тогда на том же т-рном интервале имеется такая т-ра $T = T_m$, при к-рой достигается максимум произв-ва энтропии. Показано, что т-рная зависимость константы скорости произв-ва энтропии определяется функцией $G(T)$, уста-

X. 1994, N 8

новлен ее физич. смысл, связь с т-рной зависимостью констант скорости р-ции и со средством. Рассмотрены св-ва функций $G(T)$ и показано, что константы скорости с т-рной зависимостью по Аррениусу не удовлетворяют св-вам функции $G(T)$.

SiO₂

1993

17 Б3012. Химия фрагментов, элементов и границ в приложении к термодинамическому описанию кремнезема как твердого тела .3 .Модель кремнезема, тепловые эффекты условных реакций и теплоты образования фрагментов, границ и элементов /Евдокимов В. Б. //Вестн. МГУ. Сер. 2 .—1993 .—34 ,№ 5 .—С. 451—464 .—Рус.

(165)

Предлагается модель кремнезема, для к-рой можно записать миним. число условных р-ций, достаточное для описания модели. Показано, что эти р-ции являются взаимосвязанными, благодаря чему определение параметров для вычислений достигается методом многомерной минимизации функции $G(T)$ и является самосогласованной задачей. Для отбора колебаний используются результаты эксперим. и теор. работ; приведен список условных р-ций и их тепловые эффекты.

X.1994, N/7.

SiO_2 (kvarts)

1993

Groenvold Fredrik.

Pure Appl. Chem. 1993,

65 (5), 927 - 34.

Cp 622
konsentrert
tegix eutetax
ii reaksjon
kontakt/kontakt

( $\delta\text{-Al}_2\text{O}_3$; I)

SiO_4 (vitr.)

1993

(C_p)

119: 57285b Time-dependent specific heat in vitreous silica using diffusivity measurement. Ikari, Hiroshi (Fac. Educ., Shizuoka Univ., Shizuoka, Japan 422). *Jpn. J. Appl. Phys., Part 1* 1993, 32(5B), 2220-2 (Eng). Pulsed diffusivity measurements on samples of vitreous silica immersed in liq. helium were performed. The obsd. short-time diffusivity is in good agreement with the dc diffusivity over the temp. range 1.5-3.9 K, which is consistent with the earlier diffusivity measurements. The result at 1.5 K is, however, not consistent with the time-dependent sp. heat measurement in an adiabatic sample arrangement. This may be due to the different sample-to-bath time consta. The diffusivity at low temps. seems to remain an unsolved problem.

C.A. 1993; 119, N6

SiO₂

1993

23 Б2295. Структура стеклообразного кремнезема
/Леко В. К. //Физ. и химия стекла .—1993 .—19 ,№ 5
.—С. .—Рус.

Рассмотрены результаты эксперим. (дифракц. методы, ЯМР, рентгеноэлектронная и ИК-спектроскопии, растворимость газов) и теор. (квантово-мех. расчеты, мех. и компьютерное моделирование) исследований структуры стеклообразного кремнезема. Обсуждены вопросы, связанные с природой хим. связей Si — O, распределением углов Si — O — Si, топологией сетки, ролью малых колец, дефектами сетки, влиянием на структуру стекла т-ры и давления. Проведено сопоставление структуры стекла со структурами различных крист. и аморф. фаз кремнезема.

Х. 1994, № 23

SiO₂

1993

3 Б2035. Атермическое поведение и термический гистерезис при фазовом переходе SiO_2 — α/β -кристобалит.
Athermal transformation behaviour and thermal hysteresis at the SiO_2 — α/β -cristobalite phase transition /Schmahl W. W.
//Eur. J. Miner. —1993.—5 ,№ 1—6 .—С. 377—380
—Англ.

Проведено рентгенодифракц. исследование α/β -фазового перехода в кристобалите и обнаружена стабильная и воспроизводимая гистерезисная петля с существованием фаз на обеих ветвях. Превращение является т-рно зависимым, а не изотермич. Атермич. поведение аналогично мартенситным переходам в металлах и сплавах и сходно с гистерезисом для магнитных материалов во внеш. полях.

В. Л. Лебедев

X.1995, № 3

8L02

1993

) 6 Б3071. Кинетика атермического перехода и термический гистерезис при слабовыраженных фазовых переходах первого рода. Athermal transformation kinetics and thermal hysteresis at weakly first order Phase transitions /Schmahl W. W. //16th Congr. Int. Union Crystallogr., Beijing, 21—29 Aug., 1993: IUCrXVI: Collect. Abstr. Aug. 21 .Aug. 29, 1993.—Beijing ,1993 .—С. MS—21.03.93
—Англ.

(T_{E2})

Методами РФА (скорость сканирования по т-ре 0,03 К/мин) и ДСК (сканирование 5 К/мин) исследована природа α — β -фазового перехода в кристобалите вблизи 520 К. Обоими методами наблюдалась область существования фаз с гистерезисной петлей ± 15 К. Превращение обладает атермич. характером, подобно мартенситным переходам в металлах.
В. А. Ступников

X. 1994, № 6

1993

SiO₂

14 Б3015. Стандартная молярная энталпия образования жидкого тетраэтиксилана $\text{Si}(\text{OC}_2\text{H}_5)_4$. The standard molar enthalpy of formation of tetraethoxysilane: $\text{Si}(\text{OC}_2\text{H}_5)_4$ (I) /van der Vis M. G. M., Cordfunke E. H. P. //J. Chem. Thermodyn. .—1993 .—25 , № 10 .—С. 1205—1210 .—Англ.

При температуре 298,15 К в изопориболич. калориметре измерены станд. энталпии р-рения жидк. $\text{Si}(\text{OC}_2\text{H}_5)_4$ и $\text{C}_2\text{O}_5\text{OH}$ и аморф. SiO_2 в водн. р-рах смеси HF и HCl. На основе результатов измерений получены следующие значения станд. теплот образования: $\Delta H^\circ(\text{Si}(\text{OC}_2\text{H}_5)_4, I, 298,15 \text{ K}) = -1408,0 \pm 2,4 \text{ кДж/моль}$ и $\Delta H^\circ(\text{SiO}_2 \text{ ат., } 298,15 \text{ K}) = -899,63 \pm 1,18 \text{ кДж/моль}$.

В. Ф. Байбуз

SiH₄

(+) □

X. 1994, N14.

 $\text{Si}(\text{OC}_2\text{H}_5)_4$

SiO₂

1993

4 Б2016. Фракционирование изотопов кислорода в полиморфных модификациях SiO_2 и Al_2SiO_5 : влияние кристаллической структуры. Oxygen isotope fractionation in SiO_2 and Al_2SiO_5 polymorphs: effect of crystal structure /Zheng Yong-Fei //Eur. J. Miner. .—1993 .—5 ,№ 4 .—С. 651—658 .—Англ.

Модифицированным методом инкрементов проведены расчеты фракционирования изотопов кислорода в полиморфных модификациях SiO_2 (I) и Al_2SiO_5 (II). Моделированием выявлена тенденция изотопа ^{18}O концентрироваться в более плотных фазах модификаций высокого давл. В модификациях I, $\text{Si}^{IV} \text{O}_2^{II}$, изотопное фракционирование между ними при высоких т-рах мало. Однако, стишовит (КЧ Si6) по отношению к др. модификациям I, характеризуется существенным обеднением по ^{18}O , обусловленным значит. изменением крист. структуры. Порядок

*полиморфные
модификации*

X. 1994, № 4

истощения модификаций II по ^{18}O следующий: силлиманит \rightarrow андалузит \rightarrow кианит. По-видимому, влиянием давл. на фракционирование изотопов кислорода в тв. минералах нельзя пренебрегать на глубине нижних слоев земной коры и мантии, если изменения давл. в геологич. процессах вызывают значит. модифицирование таких кристаллографич. параметров минералов, как КЧ катиона по кислороду и межатомным расстояниям. Ф. Ж. Спиридовон

АЛЬНЬ

file

1994

Akaogi M., Dojtarik H.,
et al.,

16th Gen. Meet., Pisa,
Italy 4-9 Sept., 1994: Abst 2.
[Int. Mineral. Assoc. - [Pi-
sa], 1994, c. 1-10.]

P.A.L.N. 11, 1995, 1158032

SiO₂

1994

5 Б2014. Возможность [существования] «постстишовитовых» фаз кремнезема при давлениях до 100 ГПа.
The possibility of «post-stishovite» phases of silica at pressure up to 100 GPa /Dubrovinsky L. S., Saxena S. K., Belonoshko A. B. //16th Gen. Meet., Pisa, 4 — Sept., 1994: Abstr./Int. Mineral. Assoc. —Pisa ,1994 .—С. 105—106
.—Англ.

(Tz)

При экспериментах со смесью Fe и аморф. SiO₂ при 800 кбар методом РФА обнаружены рефлексы при 1,50, 1,49, 1,42 Å, к-рые интерпретированы как наличие фазы со структурой типа α -PbO₂. Расчеты сравнит. устойчивости этой фазы и стишовита методами молек. динамики и минимизации энергии Гиббса дали противоречивые результаты.
П. П. Федоров

X. 1995, N 5

SiO₂

(T₂)

15 Б23. Фазовые переходы в кристобалите и родственных структурах, изученные с помощью инфракрасной эмиссионной спектроскопии при изменяемой температуре. Phase transitions in cristobalite and related structures studied by variable temperature infra-red emission spectroscopy / Finnie K. S., Thompson J. G., Withers R. L. // J. Phys. and Chem. Solids. — 1994. — 55, № 1. — С. 23—29. — Англ.

Фазовые переходы α -формы в β -форму, характерные для кристобалита и родственных ему структур изучены на примере SiO_2 , AlPO_4 , NaAlSiO_4 , NaAlO_2 с помощью инфракрасной эмиссионной спектроскопии для диапазона температур 100—1200 °C. Кристобалитная форма SiO_2 получена отжигом кварцевого стекла при 1600 °C 48 ч, кристобалитная форма AlPO_4 получена отжигом AlPO_4 при 1600 °C 24 ч, NaAlO_2 синтезирован при отжиге при 1000 °C 16 ч и при 1200 °C 16 ч. Для спектров диффузного отражения, зарегистрированных при комнатной температуре отмечено смещение всех средних частот кроме одной при замещении Si на Al или заполнении пустот структуры кристобалита атомами Na. Для ИК эмиссионных спектров отмечены резкие изменения при фазовых переходах в области 550—850 cm^{-1} .

В. П. Сиротинкин

X. 1996, N 15

40
43

F: SiO₂

P: 1

1994

9Б214. Структура и химия полиморфов SiO₂ низкого давления. Structure and chemistry of the low-pressure silica polymorphs / Heaney P. J. // Rev. Miner. - 1994. - 29. - С. 1-40. - Англ.

Обзор. Рассматривается местонахождение в природе, структура, фазовые превращения полиморфов SiO₂ низкого давления (кварц, тридинит, кристобалит). Во всех этих фазах при переходах происходит смещение атомов со структурным сжатием при понижении температуры. Изучен механизм, контролирующий эти превращения. Переход 'бета'-'альфа' кварц осуществляется через промежуточную фазу (I) устойчивую при 573-574,3 °С. Методами рентгенографии и просвечивающей электронной микроскопии показано, что I состоит из дофинейских микродвойников, которые несоразмерномодулированы. Метеоритный и синтетический тридинит при понижении температуры меняет симметрию от гексагональной к ромбической (OC, OS, OP) до моноклинной. Фазовые переходы между тридинитами (PO-п и MX-1) Земли более сложные. Библ. 271.. Полиморфизм, Тт.

X.1996, N9

SiO_2

1994

Hilderbrand D.Z.,
Lau R.H.

ΔH_f

J. Chem. Phys. 1994,
101, N.F. C. 6076-6079.

($\text{crys. } \bullet \text{ SiO(OH); I}$)

SiO₂

1994

13 Б212. Структурный фазовый переход в тридимите [между] гексагональной и ромбической модификациями. The hexagonal <—> orthorhombic structure transition in tridymite / Kihara K. // 15th Eur. Crystallogr. Meet. (ECM-15), Dresden, 28 Aug. — 2 Sept., 1994: Book Abstr. — Munchen, 1994. — С. 544. — Англ.

Тщательное измерение параметров решётки кристаллов тридимита, выросших на ПВ бруска плавленого кварца, вблизи 420° С — т-ры фазового перехода между ромбич. $C\bar{2}2\bar{1}$, — гексагон. $P6_3/mmc$ модификациями не выявило никаких указаний на существование промежуточной гексагон. модификации с ф. гр. $P6_322$, описанной в работе De Dombal R. F., Casrpenter M. A., Eur. J. Mineral, 1993, v.5, p. 607—622. Переход заключается в постепенном повороте SiO_4 -групп вокруг осей второго порядка, в то время как предлагавшаяся ф. гр. $P6_322$ требует смещения вдоль (001). П. П. Федоров

(T_{t2})

X. 1995, N 13

1994

F: SiO₂

P: 1

10Б2374. Термохимия кристаллической и аморфной окиси кремния.
Thermochemi of crystalline and amorphous silica / Navrotsky A. // Rev. Miner. -
1994. 29. - С. 309-329. - Англ.

Представлен обзор имеющихся к настоящему моменту времени термодинамически данных для стабильных (стишовит, коэзит, кварц, тридимит, кристобалит) и метастабильных (моганит, цеолиты, стекла, аморфные гели и микропористые материалы) форм окиси кремния. Разнообразие форм окиси кремния объясняется большим числом возможных сочетаний тетраэров SiO₄[2] в различных кристаллических структурах, а также малой величиной энталпии (15 кДж/мол относительно кварца), присущей большинству полиморфных превращений. □

РНХ 1994

SiO₂

1994

11 Б3057. Гомогенная химия термического разложения метилтрихлорсилана. Термодинамический анализ и моделирование кинетики. On the homogeneous chemistry of the thermal decomposition of methyltrichlorosilane: Thermo-dynamic analysis and kinetic modeling /Papasouliotis George D., Sotirchos Stratis V. //J. Electrochem. Soc. —1994.—141, № 6.—С. 1599—1611.—Англ.

Выполнены расчеты равновесия в газ. фазе системы Si—Cl—C—H применительно к условиям осаждения SiC путем термич. разл. метилтрихлорсилана (I). Выявлена природа основных компонентов газ. фазы, определяющих химизм процесса. Предложены условия (т-ра, давл., ис-

SiO₂, Si

(7) Mg₂SiO₄

X. 1995, N 11

ходный состав системы), приводящие к получению стехиометрич. SiC . На основе результатов расчетов предложена кинетич. модель разл. I. Рассмотрена последовательность реакций, приводящих к получению C и Si . — Б. Г. Коршунов

SiO₂

1994

№ 12 Б386. Структура новой фазы высокого давления в α -кварце, исследованная методами молекулярной динамики. Structure of a new high pressure phase in α -quartz determined by molecular dynamics studies / Somayazulu M. S., Sharma S. M., Sikka S. K. // Phys. Rev. Lett. — 1994. — 73, № 1. — С. 98—101. — Англ.

($\bar{F}_{\ell 2}$)

Методом молекулярной динамики подтверждено существование структурного фазового перехода α -фазы кварца при давл. 20 ГПа. Моделирование порошковых рентгеновских профилей при 19 и 21 ГПа показало, что новая фаза является предшественником на пути к аморфизации. Предсказываемая дифракц. картина хорошо согласуется с лит. эксперим. данными и указывает на утройство элементарной ячейки в базовой плоскости $a-b$ α -фазы ($a = 3,87$, $b = 4,31$, $c = 5,11$ Å, $\alpha = 83,2^\circ$, $\beta = 83,8^\circ$, $\gamma = 117,4^\circ$ при 21 ГПа), однако рентгенограмма м. б. также индексирована в монокл. ячейке с $a' = a + 2b$, $b' = 3b$, $c' = c$, $\alpha = \beta = 90^\circ$.

В. А. Ступников

X. 1995, N 12

SiO₂

Dm. 37781

1994

Ivany V., Saxena S. K.,
Serdnar' B., et al.,

J. Geophys. Res., 1994,
99, N 86, 11787-11794

A thermodynamic assessment

silica phase diagram.

SiO₂-тридимит

1994

9 Б2011. Исследование полиморфных модификаций
SiO₂-тридимита с помощью дифракции электронов. An
electron diffraction study of the polymorphs of SiO₂-tridymite
/Withers R. L., Thompson J. G., Xiao Y., Kirkpatrick R. J.
//Phys. and Chem. Miner. .—1994 .—21 ,№ 7 .—С. 421 —
433 .—Англ.

(T₂)

С помощью трансмиссионной электронной микроско-
пии изучены низкочастотные моды искажения высокот-
рного SiO₂-тридимита (I) и их связь со структурным
полиморфизмом I. Обнаружено, что обладающие низкой
энергией моды искажения идеальной тетраэдрич. сетки
I приводят к характеристичному диффузному распреде-
лению интенсивностей для двух наиболее высокот-рных
полиморфов. Это диффузное распределение является
не следствием повреждения пучком электронов, а харак-
терной особенностью структуры. Диффузное распре-
деление интенсивностей тесно связано с более низко-
т-рным полиморфом.

Н. А. Лебедева

X. 1995, № 9.

SiO₂

1995

F: SiO₂

P: 1

05.Д.0150. Теоретическое изучение термохимических свойств молекул в системе Si-O-H. Theoretical study of the thermochemistry of molecules in the Si-O-H system / Allendorf Mark D., Melius Carl F., Ho Pauline, Zachariah Michael R. // J. Phys. Chem. - 1995. - 99, N 41. - C. 15285-15293. - Англ.

A self-consistent set of thermochemical parameters for 47 molecules in the Si-O-H system are obtained from a combination of ab initio electronic structure calculations and empirical corrections. Both stable and radical species are included in the study. Good agreement between the calculations and experimental data for the heat of formation of SiO is found, while the prediction for SiO[2] suggests that accepted literature values for the heat of formation of this molecule are too low, in agreement with a recently reported experimental measurement. Results for other species in this system are also compared with the literature and are found to be in acceptable agreement. Polynomial fits of the predicted thermodynamic data over the 300-4000 K temperature range are included in the supporting information.

X.1996, N5

SiO₂

1995

Федоров В.М., канд. геол.-
минералог. наук - Новокузнецк,
1995. - 9с.

(КР) Ден 8 ВСИРИ 09.03.95,
N 644-B95

Р.И.Х. N 12 1995, 125334

1995

F: SiO₂

P: 1

2Б2248. Изучение полиморфного коэсита SiO[2] [методом] твердотельного ЯМР {17}O при вращении под магическим углом и динамическим углом. Solid-state {17}O magic-angle and dynamic-angle spinning NMR study of the SiO[2] polymorph coesite / Grandinetti P. J., Baltisberger J. H., Farnan I., Stebbins J. F., Werner U., Pines A. // J. Phys. Chem. 1995. - 99, N 32. - С. 12341-12348. - Англ.

Для полиморфного SiO[2] получены спектры ЯМР {17}O при вращении образца под магическим или динамическим углами. Из анализа спектров установлено шесть позиций атомов кислорода, различающихся параметрами квадрупольного взаимодействия, коррелиирующими с величиной углов связей Si-O-Si. Отрицательный знак константы квадрупольного взаимодействия при ориентации градиента электрического поля на кислороде вдоль направления цепей Si-O-Si определен из условия Таунса-Дейли. Коэсит, структура.

X. 1996, №

SiO₂

1995

) 19Б2111. Рост и морфология кристаллов кварца, синтезированных при температуре выше температуры перехода. Growth and morphology of quartz crystals synthesized above the transition temperature / Hosaka Masahiro, Miyata Takéshi, Sunagawa Ichiro // J. Cryst. Growth .— 1995 .— 152 , № 4 .— С. 300—306 .— Англ.

С помощью РЭМ изучена морфология кристаллов кварца, полученных гидротермальным методом при т-ре выше т-ры перехода из низкотемпературной фазы в высокотемпературную. Обнаружены различные гексагональные бипирамидальные морфологии, большая часть которых содержит призматич. грани, которые иногда искривлены, что приводит к веретенообразной форме.

В. Л. Лебедев

X. 1996, N 19

SiO_2 (α -quartz)

1995

122: 249454q Ab initio calculation of the thermodynamic properties and atomic temperature factors of SiO_2 α -quartz and stishovite. Lee, Changyol; Gonze, Xavier (Lab. Atomic Solid State Phys., Cornell Univ., Ithaca, NY 14853-2501 USA). *Phys. Rev. B: Condens. Matter* 1995, 51(13), 8610-13 (Eng). The const.-vol. sp. heat, the entropy, the phonon contributions to internal energy and Helmholtz free energy, and the at. temp. factors of α -quartz and stishovite, two allotropic forms of SiO_2 , are calcd. as a function of temp. from ab initio phonon band structures. Available exptl. data agree with our calcd. values over a wide range of temp. α -Quartz has more accessible phonon states at low temps., while stishovite has larger contributions to the thermodn. functions from the zero-point motion.

(P, S)

C.A. 1995, 122, N 20

SiO₂

[OM 38 103]

1995

(PT гуаракама
или фрукт.
забол-иек) Островский И.А.,

PT гуаракама при 2000м, 1995, №5,
на при 754-759.

Фрукт. забол-иек. Изображение попечивані
однорідного, гладкого,
спелого со склонів

РТ-документы (на примере
кредитных карт).

19/85

F: SiO₂

P: 1

2Б2338. Исследование аморфного диоксида кремния с помощью дифракции жестких рентгеновских лучей. Amorphous silica studied by high energy X-ray diffraction : [Pap.] 1st Eur. Conf. Synchrotron Radiat. Mater. Sci., Chester, 3-8 Juli, 1994 / Poulsen H. F., Neufeind J., Neumann H.-B., Schneider J. R., Zeidler M. D. // Nucl. Instrum. and Meth. Phys. Res. B. - 1995. - 97, N 1 - 4. - C. 162-165. - Англ.

С использованием дифракции жестких рентгеновских лучей с энергией 95 кэВ исследован аморфный диоксид кремния. Результаты показали, что с использованием жестких рентгеновских лучей для неупорядоченных материалов можно получить структурные факторы с точностью, к-рая сравнима с точностью, получаемой в нейтронографич. исследованиях, при условии, что м. б. устранены неточности, связанные с теор. форм-фактором. Полученные результаты проанализированы на основе модели ближнего порядка структуры.. Структура аморфной фазы.

P. HC. X. № 1, 1996

1995

$d - \text{SiO}_2$

13 Б3147. Растворимость кварца в водных растворах
 NaOH при повышенных температурах и давлениях /
Румянцев В. Н. // Ж. неорган. химии. — 1995. — 40,
№ 1. — С. 42—48. — Рус.

Приведены эксперим. данные по р-римости кварца ($\alpha\text{-SiO}_2$) в водных р-рах NaOH (конц-ия 0,1—1 М) при т-рах 150—450 °C (давление 500—2200 бар). Р-римость кварца с т-рой непрерывно возрастает, что является следствием усиления полимеризации гидроксокомплексов кремния. Этой же особенностью объясняется смена линейной зависимости р-римости кварца от конц-ии электролита параболической при конц-ии р-ра выше 0,5 М. Кривые температурной зависимости р-римости (ТЗР) кварца распадаются на две ветви, в пределах которых увеличение р-римости с т-рой в координатах $\lg m - 1/T$, К (m — р-римость кварца, моль/кг р-рителя) характеризуется линейной или близкой к ней зависимостью. Происхождение перегиба на кривых ТЗР, наблюдающегося при т-ре примерно 300 °C, связывается с дегидратацией силикатных частиц и усилением вследствие этого межионных взаимодействий в растворе.

K_c

X. 1995, N/3

1995

F: SiO₂

P: 1

ЗБ377. Кинетические исследования кристаллизации коэзита при использовании синхротронного излучения. Kinetic studies of the crystallisation of coesite using synchrotron radiation : [Pap.] 1st Eur. Conf. Synchrotron Radiat. Mater. Sci., Chester, 3-8 Juli, 1994 / Zinn P., Lauterjung J., Hinze E. // Nucl. Instrum. and Meth. Phys. Res. B. - 1995. - 97, N 1 - 4. - С. 89-91. - Англ.

В диапазоне т-р 870-1170К и давл. 30-50 кбар (кубич. аппарат высокого давл.) методом энергодисперсионного синхротронного излучения исследована *in situ* кинетика фазового перехода кварц-коэзит. Длительность каждого измерения составляла 20-200 с. Эксперим. результаты позволили рассчитать константу скорости K[c] для роста коэзита (пр. гр. C2/c) из кварца (пр. гр. P3[1]21) при отсутствии влаги. Для различных Р-Т-условий величины K[c] колеблются от $6,0 \cdot 10^4$ до $2,2 \cdot 10^4$ с⁻¹. Тг.

X, 1996, № 3

Sil₂,

1995

Clementine
Kapts

(ρ , T_2)

124: 38947f Phase transitions of quartz studied by a.c. calorimetry. Yao, Haruhiko; Hatta, Ichiro (Department of Physics, Tokyo Institute of Technology, Oh-okayama, Meguro, Tokyo, Japan 152). *Thermochim. Acta* 1995, 266, 301-8 (Eng). An a.c. calorimetric heat capacity measurement was performed on high-quality synthetic quartz. At the incommensurate (IC)- β -phase transition, the heat capacity C_p of as-grown samples show crit. behavior, i.e. there is a sharp peak at the IC- β transition. The shapes of the C_p are almost identical in both heating and cooling runs. However, when as-grown samples were annealed in the α -phase just below the α -IC transition, the C_p peak became considerably rounded and, at the same time, the transition temp. slightly increased. The shapes of the C_p peaks on heating and cooling became dissimilar for the annealed samples.

C. A. 1996, 124, N4

Sil_d

1996

10Б337. Фазовая диаграмма и свойства кремнезема: изучение методами решеточной и молекулярной динамики / Белоножко А. Б., Дубровинский Л. С., Дубровинская И. А., Саксена С. К. // Петрология (Россия). — 1996 .— 4, № 6 .— С. 563—580 .— Рис.

Методами решеточной и молекулярной динамики изучены свойства и фазовая диаграмма кремнезема в широком диапазоне давлений и т-р с использованием ранее полученного потенциала межатомного взаимодействия. Расчеты показали хорошее соответствие теоретически полученных и доступных структурных, калориметрических и спектроскопических экспериментальных данных. Хорошо воспроизводятся фазовые равновесия кварц-коэсит, коэсит-стишовит, стишовит-расплав. При давлении выше 83 ГПа предсказан переход стишовита в фазу со структурой CaCl_2 , а при давлении выше 93 ГПа (по данным решеточной динамики) и 110 ГПа (по данным молекулярной

(T_{t2})

X. 1997, N 10

динамики) — в новую фазу со структурой, имеющей пространственную группу Рнс2, которую мы назвали SBAD. Анализ рассчитанных дифракционных картин различных гипотетических постстишовитовых фаз показывает, что эту новую фазу следует учитывать при высокобарических экспериментах с кремнеземом. Появление новой фазы согласуется с сейсмическими наблюдениями. Ранее полученные экспериментальные результаты по постстишовитовым фазам при высоких давлениях могут быть объяснены как появлением SBAD так и небольшим отклонением от гидростатических условий.

SiO₂

1996

9Б2313. Постепенное превращение кварца в аморфный кремнезем при ударном нагружении: роль α — β -перехода. Progressive transformation from quartz to amorphous silica by shock pressure: Role of the α — β transition / Chemarin C., Panczer G., Badjukov D. D., Champagnon B. // Ber. Bunsen-Ges. phys. Chem.— 1996.— 100, № 9.— С. 1396—1398.— Англ.

(ФСУ · первая)

При исследовании превращения крист. α -кварца в кварцевое стекло под действием ударного нагружения с помощью микроспектроскопии КР обнаружена промежуточная фаза, где присутствуют как крист., так и аморф. SiO_2 . С использованием метода постепенно увеличивающегося максим. давл. получены новые образцы ударноожжатого SiO_2 , а их спектры КР сравнены со спектрами КР образцов, полученных в результате α — β -перехода, вызванного изменением т-ры. Выделение крист. фазы сравнено с выделением α -кварца при термич. отжиге. В. Ф. Байбуз

X. 1997, 149

fil2

1996

10Б39. Вычисления по модели свободной энергии термодинамических, колебательных, упругих и структурных свойств α -кварца при переменных давлениях и температурах. Free-energy calculations of thermodynamic, vibrational, elastic, and structural properties of α -quartz at variable pressures and temperatures / De Boer K., Jansen A. P. J., Van Santen R. A., Watson G. W., Parker S. C. // Phys. Rev. B. — 1996. — 54, № 2. — С. 826—835. — Англ.

*термо-
эф-бр*

Путем сравнения существующих лит. эксперим. данных с предсказанными величинами для большого числа св-в α -кварца в области давл. до 25 ГПа и в диапазоне т-р 100—813К исследована надежность модели двухоболочечного ПТ и модели ПТ жесткого иона. Вычисления выполнены в рамках ур-ний минимизации свободной энергии. Анализ показал, что каждый ПТ точно описывает атомные вз-вия. Обсуждены области применимости модельных ПТ для вычислений конкретных х-к соединений.

В. А. Ступников

X. 1997, N 10

α -SiO₂ (XRD)

1996

125: 100658p Free-energy calculations of thermodynamic, vibrational, elastic, and structural properties of α -quartz at variable pressures and temperatures. de Boer, K.; Jansen, A. P. J.; van Santen, R. A.; Watson, G. W.; Parker, S. C. (Lab. Inorg. Chem. Catalysis, Eindhoven Univ. Technol., 5600 MB Eindhoven, Neth.). *Phys. Rev. B: Condens. Matter* 1996, 54(2), 826-835 (Eng). The reliability of two shell model potentials and a rigid-ion model potential was studied by comparing available exptl. data with predicted values for a large no. of α -quartz properties at variable temps. and pressures. Calcns. were done with a recently developed free-energy minimization code. Predictions for the structure, Raman modes, and elastic consts. of α -quartz at elevated temps. and pressures are discussed. Calcns. of the const. pressure entropy and heat capacity as a function of temp. are presented. Calcd. low-frequency phonon dispersion curves in the $[\xi \xi 0]$, $[\xi 0 0]$, and $[0 0 \xi]$ direction are also discussed. Anal. of these predictions show which at. interactions are most accurately described by each potential. Also, the conditions are discussed under which the predictions of each potential are the most reliable.

C.A. 1996, 125, N8

F: SiO₂

P: 1

1996

10Б210. Реконструктивные превращения в кристаллических структурах. Reconstructive transformations in crystal structures : Collec. Abstr. Int. Union Crystallogr 17th Congr. and Gen. Assem., Seattle, Wash., Aug. 8-17, 1966 / Dmitriev V. P. // Acta crystallogr. A. - 1996. - 52, Suppl. - С. 442. - Англ.

Большинство фазовых переходов в кристаллических соединениях имеет реконструктивный характер с отсутствием отношений группа-подгруппа. Для таких переходов использован метод описания волн плотности. В качестве примеров приведены переходы при сложном полиморфизме C, льда, SiO₂, криогенных кристаллов.

F: SiO2-new

P: 1

ЗБ243. Новая SiO_2 -фаза в физических условиях нижней мантии Земли: теоретические и рентгеновские синхротронные данные. A new SiO_2 phase at physical conditions of Earth's lower mantle: theoretical and synchrotron X-ray evidences : Collec. Abstr. Int. Union Crystallogr 17th Congr. and Gen. Assem., Seattle, Wash., Aug. 8-17, 1966 / Dubrovinsky L. S., Saxena S. K., Belonshko A. B. // Acta crystallogr. A. - 1996. - 52, Suppl. - С. 534. - Англ.

При 2000 К и закалке под давлением 080 ГПа рентгенографически обнаружена новая предсказанная

1996

теоретически фаза SiO_2 со структурой промежуточной между 'альфа'- PbO_2 и ZrO_2 , ф. гр. $\text{PnC}2$, а 4,300, в 3,899, с 4,689 Å, V 11,84 $\text{cm}^3/\text{моль}$. Она немного более плотная, чем стишовит и возможно устойчива в нижней мантии, если там возможен свободный кремнезем.

SiO_2

1996

7Б336. Численное исследование кривой со-
существования жидкость—пар диоксида крем-
ния. A numerical investigation of the liquid-vapor
coexistence curve of silica / Guissani Yves, Guillot Bertrand
// J. Chem. Phys.— 1996 .— 104, № 19 .— С. 7633—7644
— Англ.

(P)

Х. 1997, № 7

8502

1996

8Б238. Кристаллохимия моганита и аметиста. The crystal chemistry of moganite and amethyst / Hyde B., McLaren A. // Austral. J. Chem.— 1996 .— 49, № 8 .— С. 861—866 .— Англ.

Детально рассмотрено строение новой двенадцатой модификации кварца, маганита. Показано, что структура маганита может быть представлена как дефектная структура кварца: кварцевые слои толщиной в один тетраэдр объединяются по плоскости (1101), причем с одной стороны находятся слои левого кварца, а с другой — правого. Подобного типа двойникование имеет место для аметиста, однако в последнем случае имеет место макроскопическое двойникование в масштабе около 100 им. Выявленная новая структура подтверждает гипотезу о том, что наличие упорядоченных дефектов в кристаллах приводит к образованию новых структурных типов.

В. П. Сиротинкин

Х. 1997, N 8

1996

SiO_2

УБ23. Общий обзор кварцевых и кварце-
подобных веществ: упаковка, искажения, тем-
пература и эффекты давления. A general survey
of quartz and quartz-like materials: packing distortions,
temperature, and pressure effects / Philippo T. E.,
Palmier D., Pintard M., Goiffon A. // J. Solid State Chem.—
1996.—123, № 1.—С. 1—13.—Англ.

(0901)

Обзор. Проведен анализ влияния давления и темпе-
ратуры на кварц и кварцеподобные вещества (SiO_2 , GeO_2 ,
 M_2XO_4 с $\text{M}=\text{Al}, \text{Ga}, \text{Fe}$ и $\text{X}=\text{P}, \text{As}$). Все результаты соотне-
сены с расстоянием $\text{M}-\text{O}$ и углом $\text{M}-\text{O}-\text{X}$, влияющим
на физические свойства — (плотность, пьезоэлектрич-
ность, анизотропия диэлектрических констант). Устано-
влена возможность прогноза свойств не синтезированных
еще соединений.

Н. Л. Смирнова

Х. 1997, № 9

SiO₂

1996

) 22Б27. Различия между шести- и четырехкоординированными (атомами) кремния в модификациях SiO₂ по данным спектроскопии структуры ближнего края энергетических потерь электронов (ELNES). Distinction between six- and fourfold coordinated silicon in SiO₂ polymorphs via electron loss near edge structure (ELNES) spectroscopy / Sharp T., Wu Z., Seifert F., Poe B., Doerr M., Paris E. // Phys. and Chem. Miner.— 1996.— 23, № 1.— С. 17—24.— Англ.

(Tz)

Исследована возможность раздельного фиксирования 6- и 4-координации атомов Si в природном α -кварце, синтетическом коэсите, с одной стороны, и в синтетическом стишовите, с другой стороны, с помощью спектроскопии структуры ближнего Si K-, L- и O K-краев энергетических потерь электронов. Зафиксированные в спектрах

X. 1997, N 22

различия связаны, согласно сравнению с расчетами мультиплетного рассеяния, с разной координацией атомов Si. Расчетами мультиплетного рассеяния для больших кластеров показано, что другие оболочки вносят относительно небольшой вклад в общую топологию спектров. Поэтому различия между 6- и 4-координированным Si можно выявить даже в нанометровом масштабе и, вероятно, в аморфных веществах.

Ф. М. Спиридонов

грб

file

[Om. 42035]

1996

■ 24 Б2432. Термические свойства кварцевого стекла в
интервале температур 1200—2375К / Тягельский П. В.,
Станкус С. В. // Теплофиз. высок. температур — 1996
— 34, № 2 — С. 331—333 — Рус.

(терм. съ-вс.)

илическъ,

кварцевого расширенія

(КПР)



Х. 1996, № 24, Б2432

$$\rho_2 = (2203.4 \pm 1.1) 10^3 \text{ kg/m}^3$$

(npu 2954)

$$\beta_c \times 10^6, K^{-1} \quad \beta_m 10^5$$

Dep. 1 axi.	T_g, K	ρ	$\beta_c \times 10^6, K^{-1}$	$\beta_m 10^5$
	2088	2199,1 ± 1,3		36 ± 1,0
Haup.	—	2195,2 ± 0,7	3,1 ± 0,0	

Dep. 2 axi.	T_g, K	ρ	$\beta_c \times 10^6, K^{-1}$	$\beta_m 10^5$
	2046	2199,6 ± 0,7	3,5 ± 0,8	9,1 ± 0,7

Polykloroäthylen T-pa Cetekolatniss $T_g = 2152 K$

Ланокий С.И. .23 Б2378. Исследование нанокристаллических структур
аморфного диоксида кремния *1996* Ванин А. И., Попов К.
Г., Тихонов Н. А. // Ж. техн. физ. — 1996. — 66, №
6. — С. 124—130. — Рус.

SiO₂

Методом спектроскопии комбинационного рассеяния света изучена структура низкочастотного участка спектра обезвоженного и девятиводного метасиликата натрия, силикагеля, растворов метасиликата натрия в интервале концентраций от 0.5 до 0.001 М/л. Зарегистрированы «бозонный пик» в интервале до 300 1/см, что свидетельствует о наличии в исследуемых образцах микронных частиц, имеющих аморфную структуру, а также система узких интенсивных эквидистантных максимумов с волновыми числами 25, 50, 751/см. Методом рентгеновской дифрактометрии обнаружены широкие максимумы, которые могут быть связаны с корреляцией относительных положений различных фрагментов диоксида кремния в нанокристаллической структуре. Предложена теоретическая модель и проведены оценки энергии состояний нанокристаллической структуры диоксида кремния, представляющей собой шестизвездные кольца из тетраэдров, в которых возбуждаются колективные колебания флюкутирующих валентных связей.

X, 1996, № 3

1996

22 Б2266. Квантово-химический поиск «Слабых звеньев»
 в стеклообразном SiO_2 / Зюбин А. С., Дембовский С.
 А. // Ж. неорган. химии. — 1996. — 41, № 4. — С.
 679—685. — Рус.

В рамках кластерного приближения с использованием полуэмпирической схемы MNDO исследованы относительные стабильности циклических структур в стеклообразном SiO_2 и их прочность к разрыву. Найдено, что удельные стабильности циклов с четырьмя-восемью звеньями SiO близки, но наиболее стабильны шестичленные кольца. Четырехчленные циклы имеют минимальную прочность к разрыву вследствие возможности их трансформации в два двучленных кольца. При разрушении циклов большего размера формирование новых связей не всегда возможно из-за необходимости существенной деформации жесткого окружения и требуемые для разделения цикла затраты энергии возрастают почти вдвое. Поэтому четырехчленные кольца являются наименее прочными участками непрерывной неупорядоченной сетки g-SiO_2 и при нагревании она будет распадаться преиму-

X. 1996, N 22

щественно вдоль поверхностей с максимальной концентрацией четырехчленных циклов на кластеры с размерами порядка 10—20 Å и лишь затем — на более мелкие фрагменты.



F: SiO₂

P: 1

1997

19B28. Изучение ab initio структурных превращений кремнезема под давлением. Ab initio studies of high-pressure structural transformations in silica / Karki B. B., Warren M. C., Stixrude L., Ackland G. J., Grain J. // Phys. Rev. B. - 1997. - 55, 6. - С. 3465-3471. - Англ.

Предсказано три последовательных фазовых превращения стимовита SiO₂[2] типа рутила, I в три более плотные фазы с использованием метода псевдопотенциала из первых принципов в приближении локальной плотности. При 47 ГПа происходит

превращение I в ромбический тип CaCl[2] (II), при 98 ГПа в Рнс[2] (III), при 226 ГПа в пиритовую фазу IV. Первое превращение обусловлено упругой нестабильностью, которая появляется из сильного спаривания упругих констант и смягчения рутиловой В[1g] моды. Полностью оптимизированные структуры 4 полиморфов получены как функции давления. Кроме того в зависимости от давления получены оптические моды. Результаты расчетов хорошо согласуются с экспериментальными данными.

1997

F: SiO₂

P: 1

16Б2286. Структура и дефекты в SiO₂, фундаментальные
исследования и применение. Structure and Defects in
SiO₂, Fundamentals and Applications : Proc. Fr.-It.
Symp., Agelonde, Sept. 23-25, 1996 // J. Non-Cryst.
Solids. - 1997. - 216. - с. 1-217. - Англ.

-

1997

F: SiO₂

P: 1

14Б2169. Изучение фазового перехода 'альфа'-'бета' кварца [моделированием] динамики решетки: поведение мягкой моды и упругие аномалии. Lattice-dynamical study of the 'альфа' - 'бета' phase transition of quartz: Soft-mode behavior and elastic anomalies / Smirnov M. B., Mirgorodsky A. P. // Phys. Rev. Lett. - 1997. - 78, 12. - С. 2413-2416. - Англ.

В рамках модели динамики решетки с использованием парных ПТ Цунеюки исследован механизм термически индуцированного фазового перехода 'альфа' - 'бета' кварц. Выявлена значительная роль чисто объемного и чисто температурного вкладов в фазовый переход. Чисто объемный вклад в поведение мягкой моды в 'альфа'-кварце ассоциирован с уменьшением внутритетраэдрических деформаций при расширении решетки и с вариациями внутритетраэдрических напряжений.

SiO₂

1998

Hildenbrand

128: 327159n Comment on "Thermochemistry of gaseous SiO-(OH), SiO(OH)₂, and SiO₂,"[J. Chem. Phys. 101, 6076 (1994)].
Hildenbrand, D. L.; Lau, K. H. (SRI International, Menlo Park, CA
94025 USA). J. Chem. Phys. 1998, 108(15), 6535 (Eng), American
Institute of Physics. Previously published data for a gaseous reaction
equil. involving the species SiO(OH) have been re-interpreted, based on
other information suggesting a very weak OSi-OH bond. This reinterpre-
tation leads to a revised value of -85 kcal mol⁻¹ for the std. enthalpy
of formation at 298 K of gaseous SiO(OH).

(m.X)

④

SiO(OH)

☒

SiO(OH)₂



C.A. 1998, 128, N26

1998

F: $\alpha\beta$ -SiO₂

P: 1

12Б227. Теоретическое исследование 'альфа'- и
'бета'-переходов в кварце. Theoretical
investigation of 'альфа'-'бета'-transformation of
quartz : Ab 18th Eur. Crystallogr. Meet. "Mater.
Struct. Chem., Biol., Phys. and Technol.", Praha,
Aug. 15-20, 1998. Pt B / Oganov Artem R., Urusov
Vadim Eremin Nickolai N. // Bull. Czech and Slov.
Crystallogr. Assoc. - 1998. Spec. Issue B. - C.
177. - Англ.

Метод минимизации энергии атомизации применен для
расчета зависимости кристаллической структуры,

упругих свойств и энергии атомизации кварца ($\text{SiO}[2]$). Соотнесены рассчитанные и экспериментальные данные ($f(\text{Si-O})=48\%$ 4,8928, 4,91239, с 5,3542, 5,40385 Å, V 111,01, 112,933 Å, ф. гр. Р3[1] 21 2. Значения координат Si 0,9634; 0,4701, O, 0,4240, 0,2756, 0,2139; 0,413 0,2674, 0,2144. Степень ионности теоретическая и экспериментальная -18,96 -19,47 eV. Определена зависимость объема от степени ионности и установлен изменение объема (2,6%) - переход 1 рода. Тетраэдры $\text{SiO}[4]$ ведут себя как жесткие единицы. Структура 'бета'-кварца более жесткая чем у 'альфа'-кварца'.

1998

SiO₂

P: 1

130:301978 Mass spectrometric study of vaporization and thermodynamic properties of silicon dioxide. I. Composition of the gas phase and partial vapor pressures of the molecular forms over silicon dioxide. Shornikov, S. L.; Archakov, I. Yu.; Shul'ts, M. M. (Grebenshchikov Institute of Chem of Silicates, Russian Academy of Sciences, St. Petersburg, Russia). Russ. J. Gen. Chem., 68(8), 1171-1177 (English) 1998 Vaporization of

silicon dioxide in the 1800-2200 K range as influenced by the material of the effusion cells (Mo, W, Ir, Pt-Rh) was studied by t Knudsen high-temp. mass spectrometric effusion method. The partial press of mol. forms of the vapor over SiO₂ were detd. by the procedure of compl vaporization and by comparison of ion currents using the partial vapor pressures of silver and gold as stds. From the enthalpies of sublimation vaporization at 1800-1995 and 2000-2200 K, the enthalpy of SiO₂ fusion wa evaluated.

SiO₂

1998

T_{tr}

F: SiO₂

P: 1

7Б317. Микроскопическое рассмотрение "мягкой" моды
и упругих аномалий в о 'альфа'-'бета'-перехода в
кварце / Смирнов М. Б., Миргородский А. П. //
Высокотемператур. химия силикатов и оксидов: Тез.
докл. 7 Междунар. конф. Санкт-Петербург, 18-21
марта, 1998. - СПб, 1998. - С. 52. - Рус.

δ_{SiO_2}

1998

F: $\alpha\beta\sim$
 SiO_2

P: 1

T_{tz}
6Б225. Теоретическое изучение кристаллической структуры, упругих свойств 'альфа'-'бета'-превращения кварца / Урусов В. С., Оганов А. Р., Еремин . // ац. кристаллохим. конф., Черноголовка, 24-29 мая, 1998: Тез. докл. Ч. Черноголовка, 1998. - С. 140. - Рус.

SiO₂

1998

Кто автор?

Си-Ла

F: SiO₂

P: 1

ЗБ214. Дефектность и физические свойства кристаллов
кварца и флюорита / К. Г. Н. // Нац. кристаллохим.
конф., Черноголовка, 24-29 мая, 1998: Тез. до Ч. 2.
- Черноголовка, 1998. - С. 257. - Рус.

LiO_2

[Om. 41528, a"]

1999

Checchetto R. et al.,

($\text{Te}_2\Delta \text{Ht}_2$) Chem. Phys. Lett.,
1999, 306, N 5-6, 330 -
334.

SiO₂

Horbach OT 40 161. 1999

130: 317186w Specific Heat of Amorphous Silica within the Harmonic Approximation. Horbach, Juergen; Kob, Walter; Binder, Kurt. (Institut fuer Physik, Johannes Gutenberg-Universitaet, D-55099 Mainz, Germany). *J. Phys. Chem. B* 1999, 103(20), 4104-4108 (Eng), American Chemical Society. The authors investigate to what extent the sp. heat of amorphous silica can be calcd. within the harmonic approxn. For this we use mol. dynamics computer simulations to calc., for a simple silica model (the BKS potential), the velocity autocorrelation function and hence an effective d. of states $g(\nu)$. The harmonic approxn. is valid for temps. below 300 K but starts to break down at higher temps. To obtain a reliable description of the low-frequency part of $g(\nu)$, i.e., where the boson peak is obsd., it is essential to use large systems for the simulations and small cooling rates to quench the samples. The calcd. sp. heat is, at low temps. (below 50 K), about a factor of 2 smaller than the exptl. one. In the temp. range $200 \text{ K} \leq T \leq T_g$, where $T_g = 1450 \text{ K}$ is the glass transition temp., we find a very good agreement between the theor. sp. heat and the exptl. one.

(G)
pacrte

C.A., 1999, 130, N23

1999

SiO_2

(amorphous)

C_p

$T \leq 1K$

131: 24200q Thermodynamic properties of small amorphous and crystalline silica particles at low temperatures. Nittke, A.; Esquinazi, P.; Semmelhack, H.-C.; Burin, A. L.; Patashinskii, A. Z. (Abt. Supraleitung und Magnetismus, Universitat Leipzig, 04103 Leipzig, Germany). *Eur. Phys. J. B* 1999, 8(1), 19–30 (Eng), Springer-Verlag. We have measured the low-temp. ($T \leq 1 \text{ K}$) sp. heat and heat release of small amorphous and cryst. SiO_2 particles embedded in Teflon and in Vycor. The temp. and time dependence of these properties have been interpreted in terms of the tunneling model. We found that the particle size influences the d. of states of tunneling systems of the composite. The smaller the size of the particles the larger is the d. of states of tunneling systems P_0 . Quartz grains with dimensions in the micrometer range show similar glass-like properties as vitreous silica. In comparison with bulk vitreous silica, Vycor shows a much larger P_0 in agreement with the behavior we found for small SiO_2 particles. We discuss the implication of our results on the origin of the universal low-temp. properties of glasses.



C.A., 1999, 131, N2.

1339

F: SiO₂

P: 1

131:189960 Mass spectrometric study of vaporization and thermodynamic properties of silicon dioxide. II. Determination of partial vaporization coefficients of silicon dioxide.

Shornikov, S. L.; Archakov, I.

Yu.; Shul M. M. (Grebenshchikov Institute of Silicate Chemistry, Russian Academy of Sciences, St. Petersburg, Russia). Russ. J. Gen. Chem., 69(2), 187-196 (English)

1999 Partial coeffs. of vaporization of SiO, SiO₂, and Si₂O₂ mol. forms from silicon dioxide at 1610-1980 K were detd. by the Knudsen high-temp. mass-spectrometric effusion procedure.

SiO_2 (Kappa) (OM-40123) 1999

Sawai S., Tanaka H et al.,

Internat. J. Thermophys.
1999, 20, N₂, 721-731.

Measurement of
heat capacity
310 K by thermal radiation

Calorinet w.



$\text{SiO}_2 \cdot n\text{H}_2\text{O}$

SiO_2

(иссл. ДСК)

ΔH

Шарпата Г.

1999

F: SiO₂

P: 1

9Б330. Исследование термодинамики и кинетики структурных превращений кремнезема в атмосфере водяного пара методом дифференциальной сканирующей калориметр Шарпата Г. А., Панасюк Г. П., Будова Г. П., Ворошилов И. Л., Озерова З. Н. орган. матер. - 1999. - 35, 10. - С. 1247-1251. - Рус.

Методом дифференциальной сканирующей калориметрии исследована термодинамики структурных превращений кремнезема (предварительно обработанного активатором кристаллизации) в атмосфере водяного пара в интервале температур 320-750 давлений (80-240)*10⁵ Па. Показано, что значения энталпии дегидратации 'ДЕЛЬТА'[x]H{0}(T) в зависимости от условий предварительной обработки кремнезема составляют от 9 до 26 кДж/моль H₂O. Соответственно приведены стандартным условиям

величины 'ДЕЛЬТА' [r]H{0} (298,15 К) меняются от 21 д кДж/моль H₂O. Определены энталпия кристаллизации ('ДЕЛЬТА' [cr]H(SiO[2] аморф.)=-(1,63'+'0,04) кДж/моль), и значение энталпии фазового превращения 'ДЕЛЬТА' [tr]H('альфа'-'>' 'бета'-SiO[2])=0,628 кДж/моль, совпадающее с приведенным в справочной литературе. Исследована кинетика кристаллизации предварительно активированного аморфного кремнезема при водно-паровой обработке в автоклаве в изотермических условиях при давлении 110*10⁵ Па. Критерием степени превращения кремнезема в кварц служила определяемая в опыте величина 'ДЕЛЬТА' [tr]H('альфа'-'>' 'бета'-SiO[2]). Кинетические кривые образования кварцевой фазы удовлетворяют уравнению Аврами-Ерофеева. Полученные данные показывают, что энергия активации кристаллизации при водно-паровой обработке существенно ниже, чем при высокотемпературной кристаллизации с образованием кристобалита.

SiO₂

(Neustroev
Klapas)

C, mu
minip.
90 0, 015 K

[Om 41528]

1999

Strehlow P. et al.,

Physica, 1999, B263-264
273-275 (Hei CP. 274)'

file

OM · 41548]

2000

(nonenclosed
purple) - Patti M., Civalleri B.
et al.,

J. Phys. Chem. 2000, B104,
N31, 7259-65.

SiO₂

2000

135: 51368q Evaporation and condensation coefficients by the multiple Knudsen cell mass spectrometric method. Chatillon, C. (LTPCM-ENSEEG - (INPG-CNRS-UJF) BP.75, 38402 Saint Martin d'Heres, Fr.). *Schr. Forschungszent. Juelich, Reihe Energietech./Energy Technol.* 2000, 15(Pt. 2, High Temperature Materials Chemistry, Part 2), 403-406 (Eng), Forschungszentrum Juelich GmbH. Hindered vaporizations are characterized by evapn. coeffs. that can be detd. either by free or Langmuir vaporizations or effusion from Knudsen cells. Condensation coeffs. can be also detd. with effusion cells under certain conditions. The multiple Knudsen cell method assocd. to a mass spectrometer is applied to the simultaneous detn. of these coeffs. mainly for the vaporization of silicon compds. SiC, SiO₂, Si₃N₄ and their related ternary systems.

*MAC -
CHIKI/PUY,
KOSAKA/HU
JOH/YR/KO*

1800

F: SiO₂

P: I

133:49522 The study of the silica vaporization-dimerization process. Shornikov, S. I.; Archakov, I. Yu. Grebenshchikov Institute of Silicate Chemistry, Russian Academy of Sciences Saint-Petersburg 199155, Russia Proc. - Electrochem. Soc., 99-38 (High Temperature Corrosion and Materials Chemistry) ~~330-338~~ (English) 2000 Electrochemical Society

The gas phase mechanism ~~etc.~~ The gas phase reactions over silicon dioxide with the mols. of (SiO), (SiO₂) and (Si₂O₂) were investigated by the mass spectrometric Knudsen effusion method at 1610-1980 K. The obtained data showed that the gas phase dimerization processes caused the more complex gas phase compn. over silica at high temps. then had been reported previously.

C.A 2000

SiO₂

2001

F: SiO₂ (фазовые переходы)

P: 1

549.5 02.16-19Б3.161. Детальная структурная характеристика кварца при 'альфа'-'переходе при нагревании. A detailed structural characterization of quartz heating through the 'альфа'-'бета' phase transition / Tucker M. G., Keen A., Dove M. T. // Miner. Mag. - 2001. - 65, N 4. - С. 489-507. - Англ.

Для описания зависимости структурного поведения кварца от температуры было проведено измерение общего нейтронного рассеяния с помощью модификации метода обратного моделирования Монте Карло. Установлены два основных момента. Первое изменение симметрии, связанное с 'альфа'-'бета' переходом, наблюдалось в обеих, дальней и ближней, корреляциях. Второе, некоторые структурные свойства такие как длина связей Si-O и термически индуцированная динамическая разупорядоченность, относительно нечувствительны к фазовому переходу. Биб 35.

справоч.

негл.кор.

SiO_2 (опал)

2001

F: SiO_2 (опал) C_p (3 — 50 K)

P: 1

02.14-19Б3.28. Низкотемпературная теплоемкость и теплопроводность монокристаллов синтетического опала / Богомолов В. Н., Парфеньева Л. С., Смирнов И. А., Хисерек Х., Ежовский А., Кривчиков А. И., Веркин Б. И. // тверд. тела (С.-Петербург). - 2001. - 43, N 1. - С. 182-185. - Рус.

Измерены теплоемкость при постоянном давлении (в интервале 3-50 К) и теплопроводность кристалич. решетки (в интервале 5-75 К) монокристалла синтетич. опала. Показано, что теплоемкость опала при этих температурах в себя аналогично пористым аморфным материалам. Из данных по теплопроводнос следует, что монокристаллич. опал можно отнести к классу полукристаллич. материалов (частично закристаллизованных аморфных материалов). Однако вследствие специфики кристаллич. структуры опалы образуют нестандартный т полукристаллич. материалов, которому авторы дали название полуаморфные материалы.

C_p (3-50 K)

1001

SiO_2
($\text{H}_2\text{O}!$)

F: SiO_2

P: 1

136:26169 Heat capacity enhancement
and thermodynamic properties of
nanostructured amorphous SiO_2 .

Wang, Lan; Tan, Zhicheng; Meng,
Shuanghe; Druzhinina, Anne;
Varushchenko, Raisa A.; Li, Guanghai.

Journal of Non-Crystalline
Solids, 296(1,2), 139-142 (English)
2001

The heat capacity of
nanostructured amorphous SiO_2 (na-
 SiO_2) has been measured by the
adiabatic calorimetric method over the
temp. range 9-354 K. TG and
differential scanning calorimetry

C_p
9-354K

(DSC) were also employed to det. the thermal stability. The glass transition temp. (T_g) for the two na-SiO₂ samples with the same grain sizes but with different sp. surfaces and one coarse-grained amorphous SiO₂ (ca-SiO₂) sample were detd. to be 1377, 1397 and 1320 K, resp. The low temp. exptl. results show that there are significant heat capacity (C_p) enhancements among na-SiO₂ samples and ca-SiO₂. Entropy, enthalpy, Gibbs free energy and Debye temp. (θ_D) were obtained based on the low temp. heat capacity measurement of na-SiO₂. The C_p enhancements of na-SiO₂ were discussed in terms of configurational and vibrational entropy.

SiO₂

2001

F:SiO₂ (T_{tr})

P:1 02.21-19Б3.135. Кристаллические структуры полиморфных модификаций кремнез фазовые переходы между ними / Kihara Kuniaki // Nihon kessho gakkaishi = Crystallogr. Soc. Jap. - 2001. - 43, N 3. - С. 218-226. - Яп.; рез. Англ.

Кремнезем существует в виде минералов, насчитывающих больше 20 различных Большая часть минералов кремнезема может существовать при высоких температурах, при этом их коэф. теплового расширения близки к нулю и даже отрицательны. В кварце, наиболее распространенном минерале кремнезема, существует 'альфа'-переход, обнаруженный Лешателье в конце XIX в. и посто привлекающий внимание многих исследователей. Однако многие структурные проблемы в различных минералах кремнезема, такие как существование структ при

высокой температуре и структурные переходы, еще не решены. апр., в тридимите происходят последовательные переходы между разупорядоченными состояниями с изменением структуры при переменной температуре, но теорети аспект механизма этих превращений до сих пор не известен. Рассмотрены существующие структурные проблемы в кварце, тридимите и кристобалите, все полимерах существующих при низком давлении. Приведен пример успешного приложения методов молекулярно-динамич. моделирования к кварцу. Тем самым раз подчеркнуто значение совместного приложения, дифракционной кристаллог и компьютерного моделирования к сложным

проблемам, существующим в кремнез Библ. 63.

17



SiO_2

(On. 40998)

2001

Huakai Mao[†], et al.,

metall. J. of Alloys and Compo-
unds, 2001, 327, 253-262

Volumetric properties and
phase relations of silica -

thermodynamic assessment.



SiO_2

(Om. 40871)

2001

Patrick M. Piccione, Brian F.
Woodfield et al.,

$\Delta S_{\text{trans}}^{298}$

J. Phys. Chem., 2001, B105,
6025-6030.

$\Delta H_{\text{trans}}^{298}$

$\Delta f_{\text{trans}}^{298}$ Entropy &
Molecular

pure-silica
sieves.

Sifd 2001
135: 66871x Entropy of Pure-Silica Molecular Sieves. Piccione,
Patrick M.; Woodfield, Brian F.; Boerio-Goates, Juliana; Navrotsky,
Alexandra; Davis, Mark E. (Chemical Engineering, California Institute
of Technology, Pasadena, CA 91125 USA). *J. Phys. Chem. B* 2001,
105(25), 6025-6030 (Eng), American Chemical Society. The entropies
of a series of pure-silica mol. sieves (structural codes *BEA, FAU, MFI,
and MTT) are obtained by calorimetric measurements of low-temp. heat
capacity. The third-law entropies at 298.15 K are (on the basis of 1 mol
of SiO_2): *BEA, $44.91 \pm 0.11 \text{ J}\cdot\text{K}^{-1}\cdot\text{mol}^{-1}$; FAU, $44.73 \pm 0.11 \text{ J}\cdot\text{K}^{-1}\cdot\text{mol}^{-1}$;
MFI, $45.05 \pm 0.11 \text{ J}\cdot\text{K}^{-1}\cdot\text{mol}^{-1}$; MTT, $45.69 \pm 0.11 \text{ J}\cdot\text{K}^{-1}\cdot\text{mol}^{-1}$; while
the corresponding entropies of transition from quartz at 298.15 K are
*BEA, $3.4 \text{ J}\cdot\text{K}^{-1}\cdot\text{mol}^{-1}$; FAU, $3.2 \text{ J}\cdot\text{K}^{-1}\cdot\text{mol}^{-1}$; MFI, $3.6 \text{ J}\cdot\text{K}^{-1}\cdot\text{mol}^{-1}$; MTT,
 $4.2 \text{ J}\cdot\text{K}^{-1}\cdot\text{mol}^{-1}$. The entropies span a very narrow range at $3.2\text{--}4.2 \text{ J}\cdot\text{K}^{-1}\cdot\text{mol}^{-1}$ above quartz, despite a factor of 2 difference in molar volume.
This confirms that there are no significant entropy barriers to transforma-
tions between SiO_2 polymorphs. Finally, the Gibbs free energy of
transformation with respect to quartz is calcd. for eight SiO_2 phases and
all are found to be within twice the available thermal energy of each
other at 298.15 K.

SilO₂(cmill) (On 41444)

2001

Sahling S., Akeris S.,

Co Solid State Commn.
2001, 120, N5-6, 249-284.

SiO₂

2001

$$F: \text{SiO}_2 \quad \Delta H_m = \underline{\underline{10,5 \text{ кДж/моль}}}$$

P: 1 21,8

02.22-19Б3.148. К вопросу об энталпии плавления диоксида кремния / Шорни И., Арчаков И. Ю. (167610, ГСП, г. Сыктывкар, ул. Первомайская, 48) // Физико-химические проблемы создания новых конструкционных керамических материалов. Сырье, синтез, свойства : Тезисы докладов IV Всероссийской конференции, Сыктывкар, 2001. - Сыктывкар, 2001. - С. 94-95. - Рус.

Энталпия плавления $\text{SiO}[2]$ 21,8'+'7,4 кДж/моль вычислена по данным гетерогенных равновесий реакций $\text{SiO}[2]$ (крист.)= SiO (газ)+ O (газ) и $\text{SiO}[2]$ (крист.)= $\text{SiO}[2]$ (газ). Рекомендованное значение $T[\text{пл}]=1996'+'5$ К. Новое определение ' $\Delta H[\text{пл}]$ ' $\text{SiO}[2]$ вдвое выше величины 10,5 кДж/моль, используемой в справочной литературе и найденной как разность ' $\Delta H[f]$ ' ' β -кристобалита и стеклообразного диоксида при 970 К.

Luglug
Printhead

Om. 41431

2802

Ferrot Katzer et al.,

Hermann et al.,
Frenzel et al.,
Menken et al.
Mizutani.
Meop
Faiem

J. Phys. Chem. - 2002,
A106, 7204-7215.
Beyond the Harmonic

Approximation: Impact
of Anharmonic Vibrations
on the Thermochemistry
of Silicon Hydrides

SiO₂

2001

F: SiO₂ (аморф.) фазовый переход
P: I

03.06-19Б3.74. Прямое наблюдение фазового перехода по типу I рода из амор состояния в аморфное в плавленом кварце. Direct observation of amorphous amorphous apparently first-order phase transition in fused quartz / Mukhe G. D., Vaidya S. N., Sugandhi V. // Phys. Rev. Lett. - 2001. - 87, N 19. 195501/1-195501/4. - Англ.

С помощью дилатометрич. измерений наблюдался фазовый переход явно 1-го ро аморфном SiO[2] от аморфной фазы низкой плотности в аморфную фазу высокой плотности. При этом происходило резкое изменение объема на 'ЭКВИВ' 20% при 680рС и давлении 'ЭКВИВ' 36,3 кбар. Анализ спектров комб. рас. показал, чт этом никаких заметных изменений в промежуточном порядке структуры аморфно SiO[2] не происходит. Библ. 25.

SiO_2 (m, cocryst)

SiC (am)

[ILL. 42026]

2004

Schlüter S. L., Greilner J.,
Schmid-Fetzer R.

Thermodynamics and phase stability
in the Si-O system.

J. Non-Cryst. Solids, 2004, v.336, p. 1 - 25

SiO₂

2002

F: SiO₂ (4, 20 - 400 K)

P: 1

Cp,
20-400K

03.09-1953.24. Теплоемкости, энтропии по третьему закону и термодинамические функции молекулярных сит SiO[2] от 0 К до 400 К. Heat capacities, third-law entropies and thermodynamic functions of SiO[2] molecular sieves from T=0 400 K / Boerio-Goates Juliana, Stevens Rebecca, Hom Ben K., Woodfield Bri F., Piccione Patrick M., Davis Mark E., Navrotsky Alexandra // J. Chem. Thermodyn. - 2002. - 34, N 2. - С. 205-227. - Англ.

Теплоемкость четырех цеолитных полиморфных модификаций SiO[2] BEA, FAU, M MTT определена методом адиабатической калориметрии в интервале температур 20-400 К. Из результатов измерений получены термодинамические функции для четырех фаз, включая энтропию, инкременты энталпии и функцию

свободной энергии Гиббса. Энтропия и энталпия структурного фазового перехода при $T = K$ найдены равными $0,385^{+ - 0,001}$ Дж \cdot К $^{-1}\cdot$ моль $^{-1}$ и $134,8^{+ - 0,5}$ Дж \cdot моль соответственно теплоемкости трех полиморфных модификаций (FAU, MFI и MTT) больше, чем теплоемкость кристаллического кварца во всем исследованном температурном интервале, в то время как теплоемкость модификации BEA становится меньше теплоемкости кристаллического кварца при температурах в 240 К. Библ. 32.

SiO_2

2001

$T(t_f)$

F: SiO_2 (T_{t_2})

P: 1

03.09-19Б3.93. Кристаллическая посткварцевая фаза кремнезема при высоких давлениях. Crystalline post-quartz phase in silica at high pressure / Hai J., Leger J. M., Gorelli F., Hanfland M. // Phys. Rev. Lett. - 2001. - 87 15. - С. 155503/1-155503/4. - Англ.

Установлен переход 'альфа'-кварца в моноклинную кристаллическую фазу при при 20pC . Новая модификация имеет пр. гр. $P2[1]/c$, построена из 3×2 зигзагообразных цепей из октаэдров $\text{SiO}[6]$. Метастабильная модификация явл одной из возможных плотных модификаций кремнезема. Библ. 28. Библ. 28.

F: SiO₂ SiH₄ SiCl₄

2002

P: I

03.09-19Б1.54. Предсказание в
приближении

BAC-MP4

термохимических свойств
газофазных соединений системы Si-
H-O-Cl. BAC-MP4 predictions of
thermochemistry for gas-phase
compounds in the Si-H-O-Cl system
/ Allendorf Mark D., Melius Carl
F. // J. Phys. Chem. A. - 2002. -
106, N 26. - C.6370-6380. - Англ.

В рамках приближения BAC-MP4,
представляющего собой комбинацию
неэмпирических расчетов с
эмпирическими поправками для
расчета теплот образования,
определенная самосогласованная
система термохимических
параметров для 39 соединений
кремния, содержащих связи с H, O
и Cl. Обсуждены тенденции в
изменении энергии связей в
рассмотренном ряду соединений.

Проведено сопоставление
полученных результатов с данными
Cs₂-расчетов для отдельных
систем.

Полученные

термодинамические данные
использованы для оценки
энергетики реакций, связанных
с окислением и гидролизом
тетрахлорида кремния. Библ. 51.